

Chirurgie de l'Hypertension Pulmonaire

Olaf Mercier

Hôpital Marie Lannelongue

Département de Chirurgie Thoracique, Vasculaire et
Transplantation Cardio-Pulmonaire

Université Paris Sud



Comprendre le monde,
construire l'avenir®



- Endartériectomie pulmonaire
- Transplantation
- Assistance cardio-respiratoire
- Traitements palliatifs
- Vers un poumon artificiel?

1 Pulmonary arterial hypertension (PAH)

- 1.1 Idiopathic
- 1.2 Heritable
 - 1.2.1 BMPR2
 - 1.2.2 ALK1, endoglin (with or without hereditary haemorrhagic telangiectasia)
 - 1.2.3 Unknown
- 1.3 Drugs and toxins induced
- 1.4 Associated with (APAH)
 - 1.4.1 Connective tissue diseases
 - 1.4.2 HIV infection
 - 1.4.3 Portal hypertension
 - 1.4.4 Congenital heart disease
 - 1.4.5 Schistosomiasis
 - 1.4.6 Chronic haemolytic anaemia
- 1.5 Persistent pulmonary hypertension of the newborn

1' Pulmonary veno-occlusive disease and/or pulmonary capillary haemangiomatosis

2 Pulmonary hypertension due to left heart disease

- 2.1 Systolic dysfunction
- 2.2 Diastolic dysfunction
- 2.3 Valvular disease

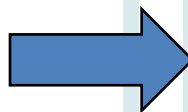
3 Pulmonary hypertension due to lung diseases and/or hypoxia

- 3.1 Chronic obstructive pulmonary disease
- 3.2 Interstitial lung disease
- 3.3 Other pulmonary diseases with mixed restrictive and obstructive pattern
- 3.4 Sleep-disordered breathing
- 3.5 Alveolar hypoventilation disorders
- 3.6 Chronic exposure to high altitude
- 3.7 Developmental abnormalities

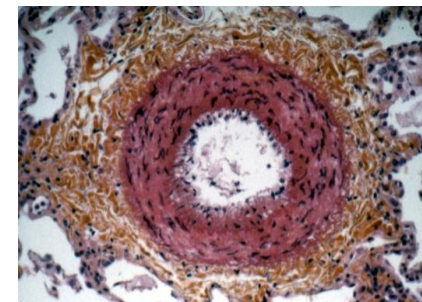
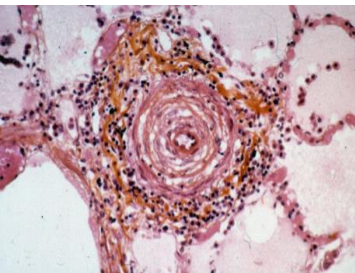
4 Chronic thromboembolic pulmonary hypertension

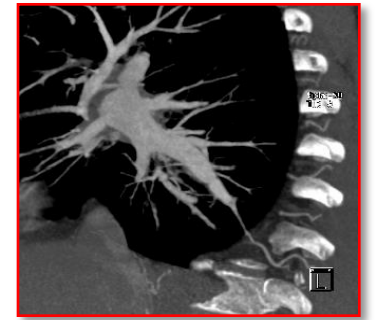
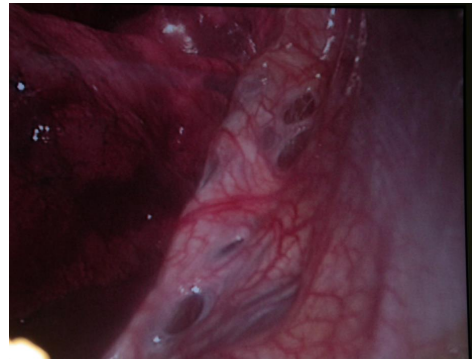
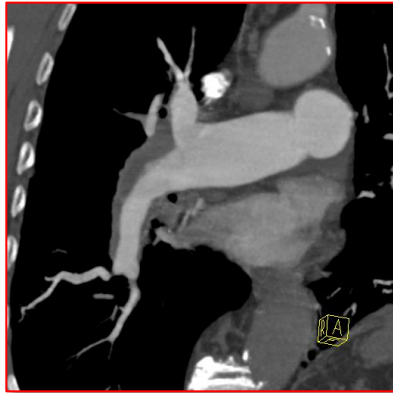
5 PH with unclear and/or multifactorial mechanisms

- 5.1 Haematological disorders: myeloproliferative disorders, splenectomy.
- 5.2 Systemic disorders: sarcoidosis, pulmonary Langerhans cell histiocytosis, lymphangioleiomyomatosis, neurofibromatosis, vasculitis
- 5.3 Metabolic disorders: glycogen storage disease, Gaucher disease, thyroid disorders
- 5.4 Others: tumoural obstruction, fibrosing mediastinitis, chronic renal failure on dialysis

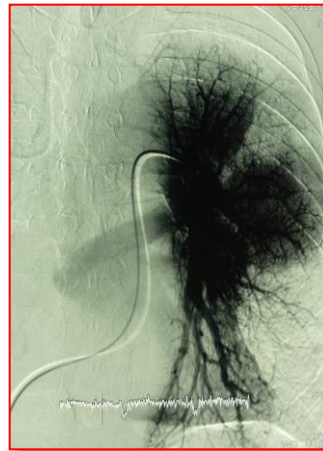


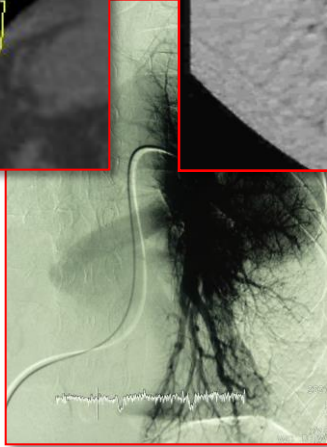
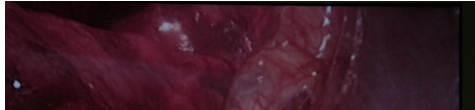
Classification Clinique de l'Hypertension Pulmonaire

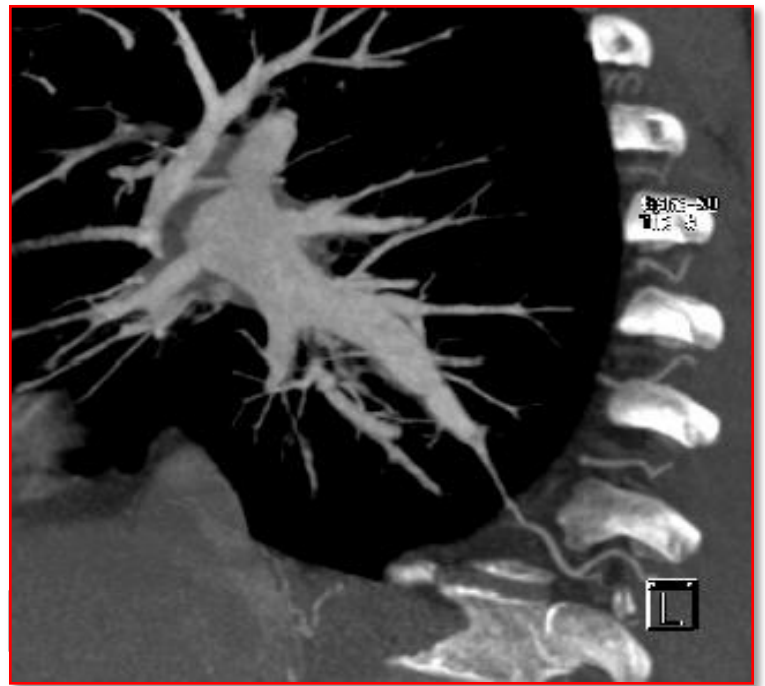
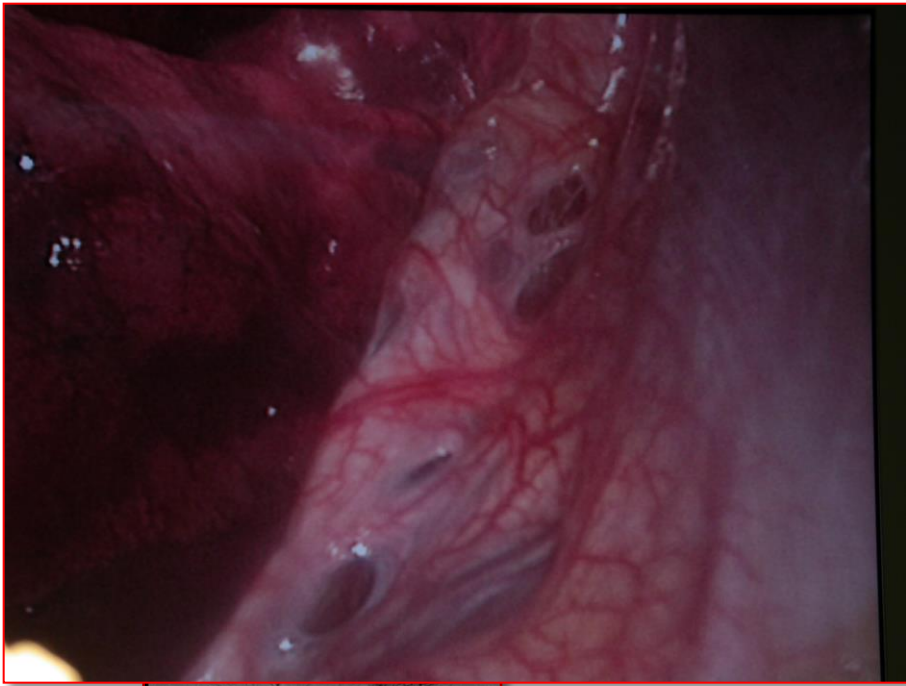




HP-PE



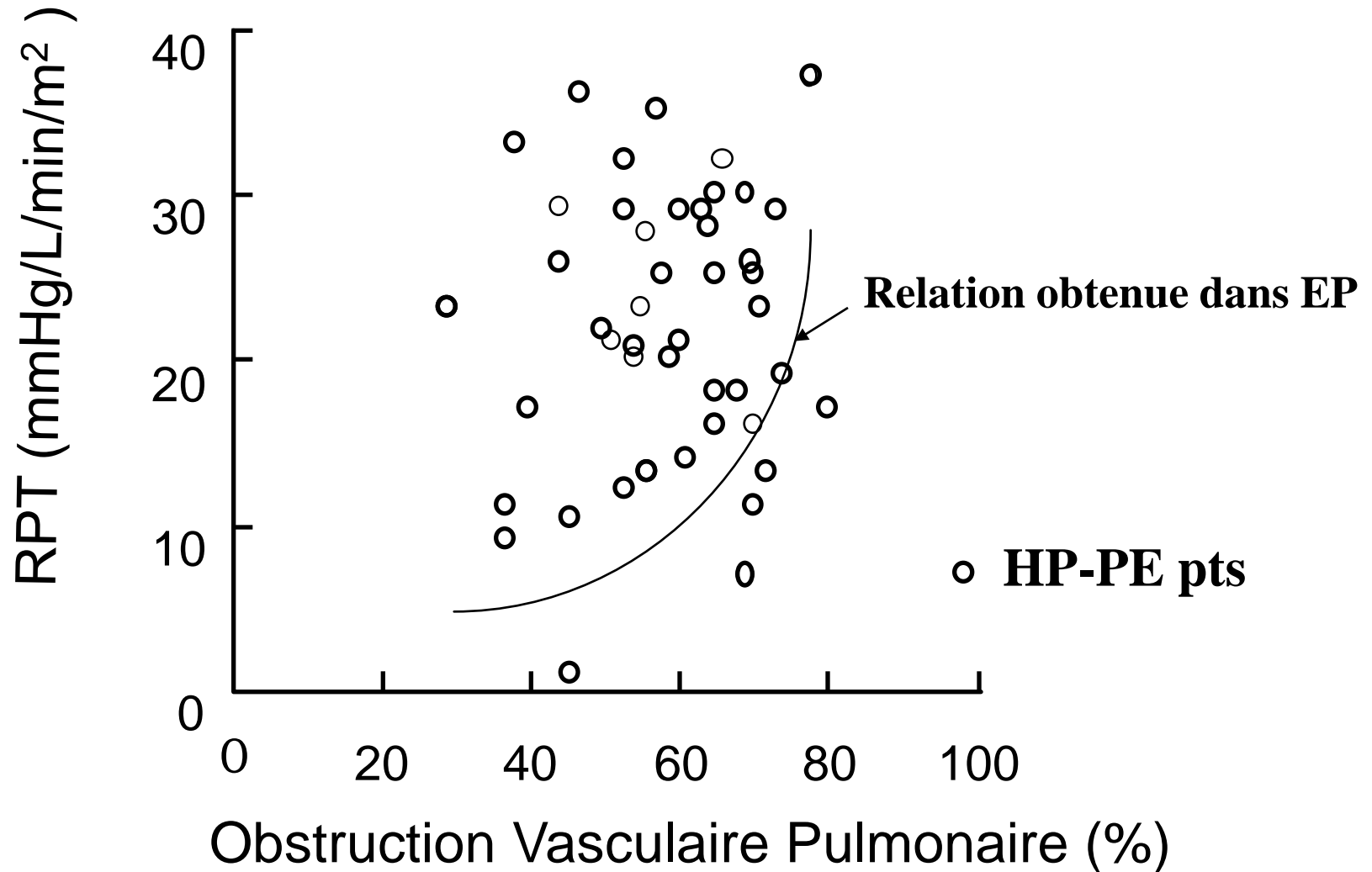


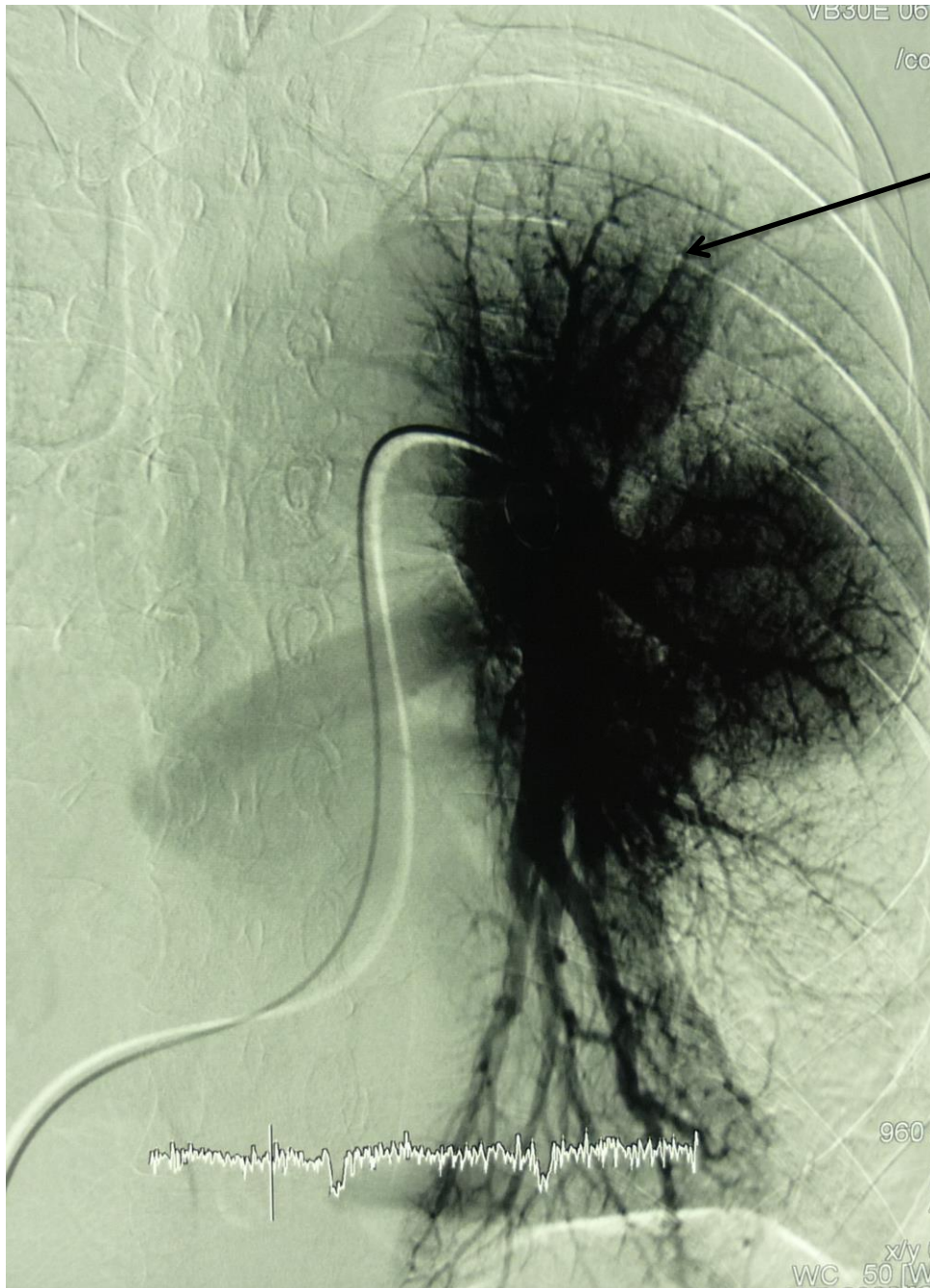


P-P

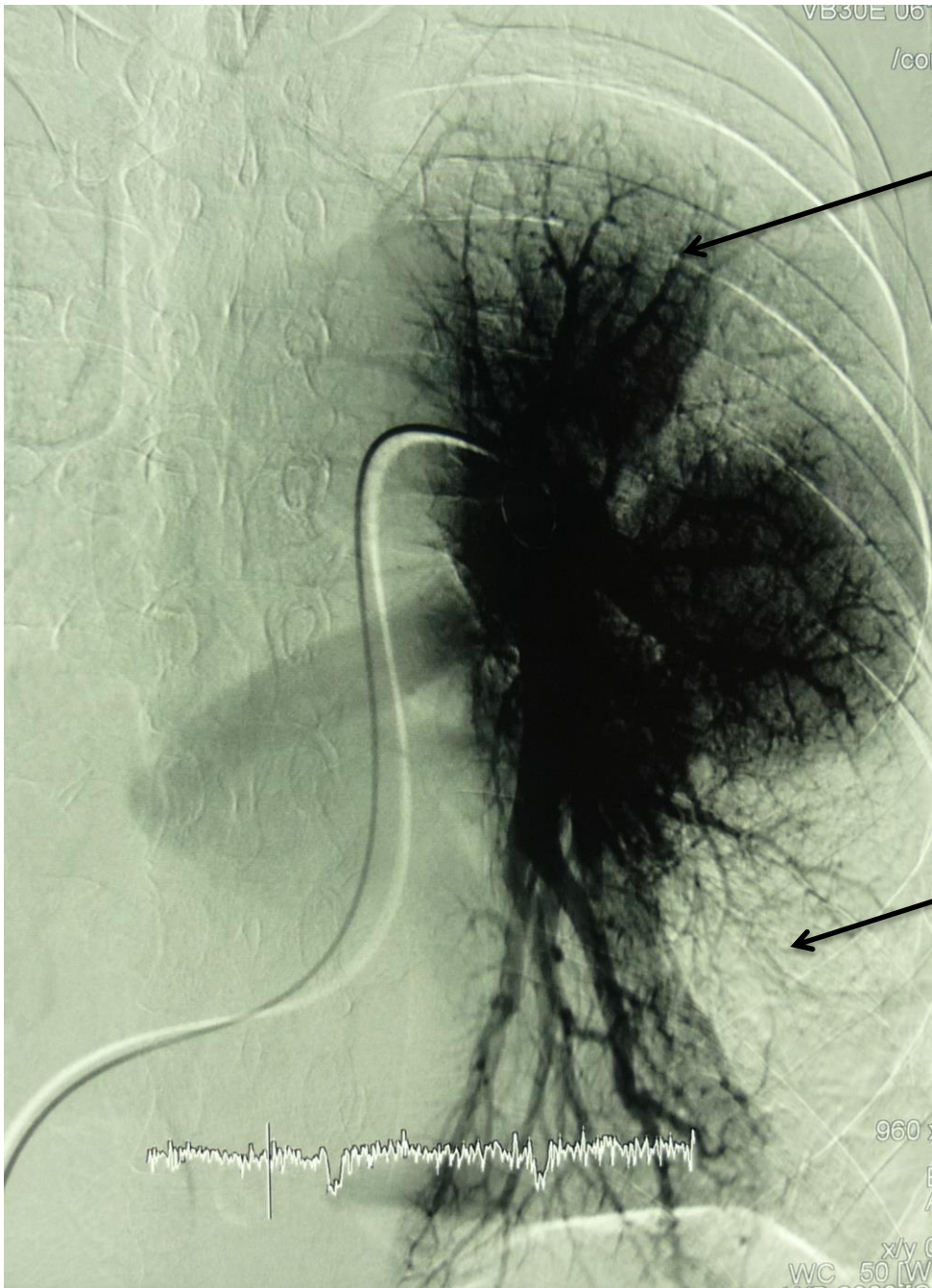


Atteinte microvasculaire



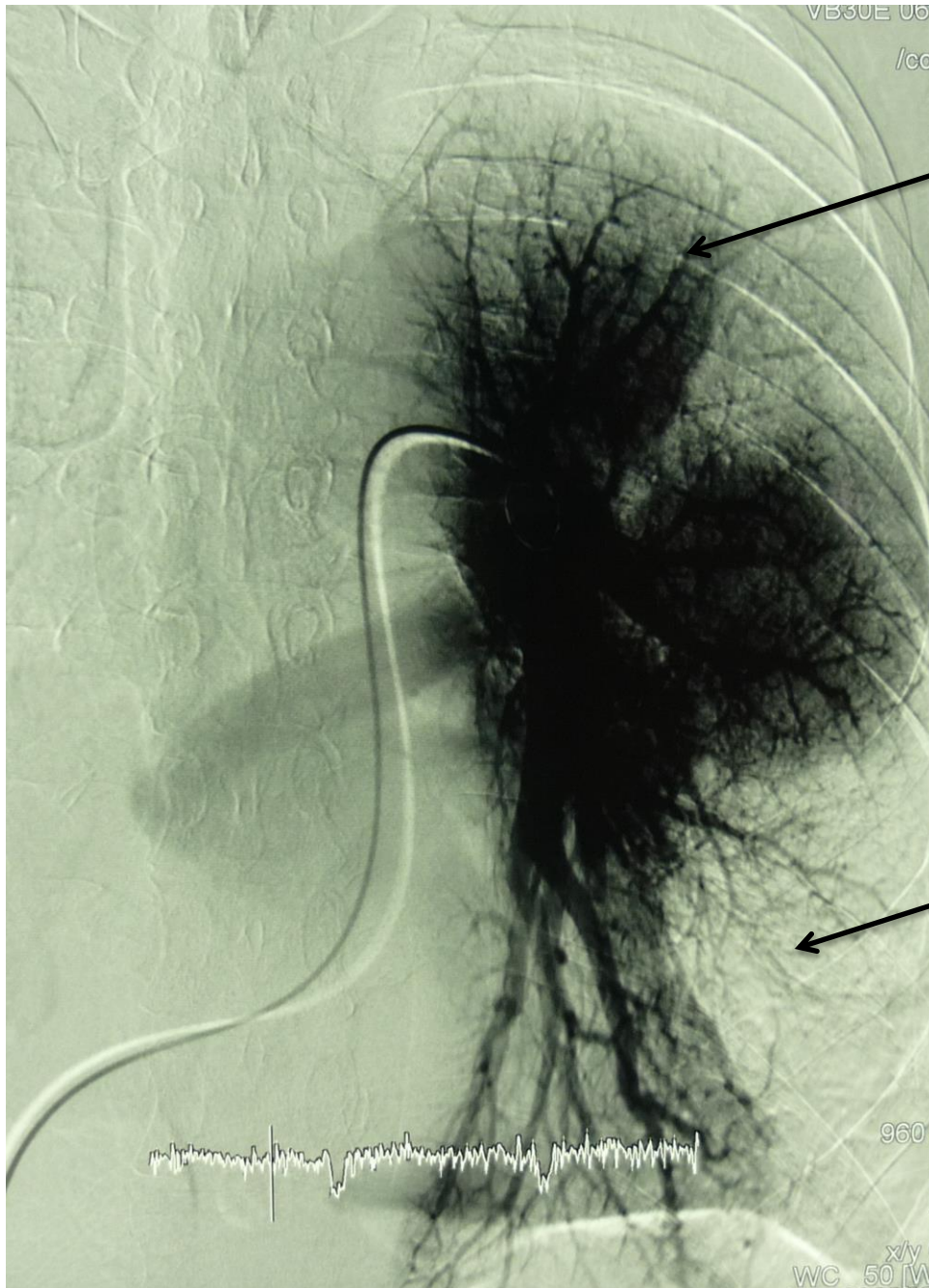


**TERRITOIRES NON
OBSTRUES**



**TERRITOIRES NON
OBSTRUES**

**TERRITOIRES
OBSTRUES**



**TERRITOIRES NON
OBSTRUES**



**VASCULOPATHIE
PULMONAIRE
DISTALE**

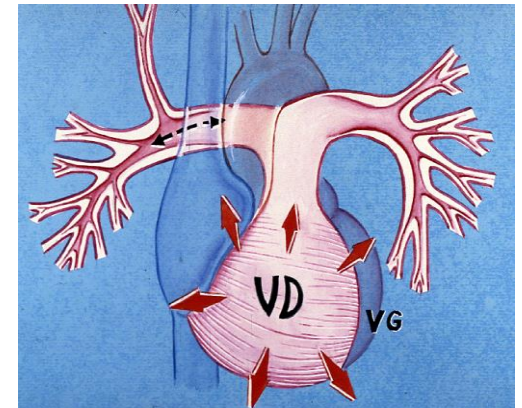
**TERRITOIRES
OBSTRUES**



**ISCHEMIE CHRONIQUE
VASCULOPATHIE POST
OBSTRUCTIVE**

Présentation Clinique

- Nouvel épisode d'une embolie pulmonaire aiguë
- Période de stabilité dite "lune de miel"
- Dyspnée d'aggravation progressive
 - Parfois associée à une hémoptysie, douleur thoracique, fatiguabilité, embolies paradoxales
- En urgence devant une défaillance cardiaque droite



Etape 1:
Dépistage HPPE

Scintigraphie:
Défects perfusionnels

Signes Echocardiographiques
d'HP (PAPs > 38 mmHg,
TRJV > 2.8m/s)

Etape 2:
Diagnostic HPPE

Scanner
+
Angiographie pulmonaire

Cathéterisme cardiaque droit
=
PH précapillaire

Absence de MTE

MTE pulmonaire
chronique

+ HP

Absence d'HP

Etape 3:
Evaluation de
l'opérabilité

Opérable

Inopérable

Chirurgie

Médicaments



Indications chirurgicales

- Diagnostic ferme d'HPPE
- Absence de comorbidités excessives
- Matériel endovasculaire accessible (>lobaire)

Facteurs prédictifs de succès

- Antécédent d'EP et de phlébite
- Période lune de miel
- Maladie proximale à l'angiographie
- Circulation systémique hypertrophiée
- Obstruction anatomique corrélée aux résistances

Facteurs prédictifs d'un échec

- Absence d'antécédents d'EP ou de phlébite
- Présence d'un cathéter
- Maladie distale à l'angiographie
- Discordance entre obstruction et sévérité hémodynamique
- Pas de développement de la circulation bronchique
- Splénectomie (Maladie hématologique+++), Maladies inflammatoires chroniques

Endartériectomie pulmonaire

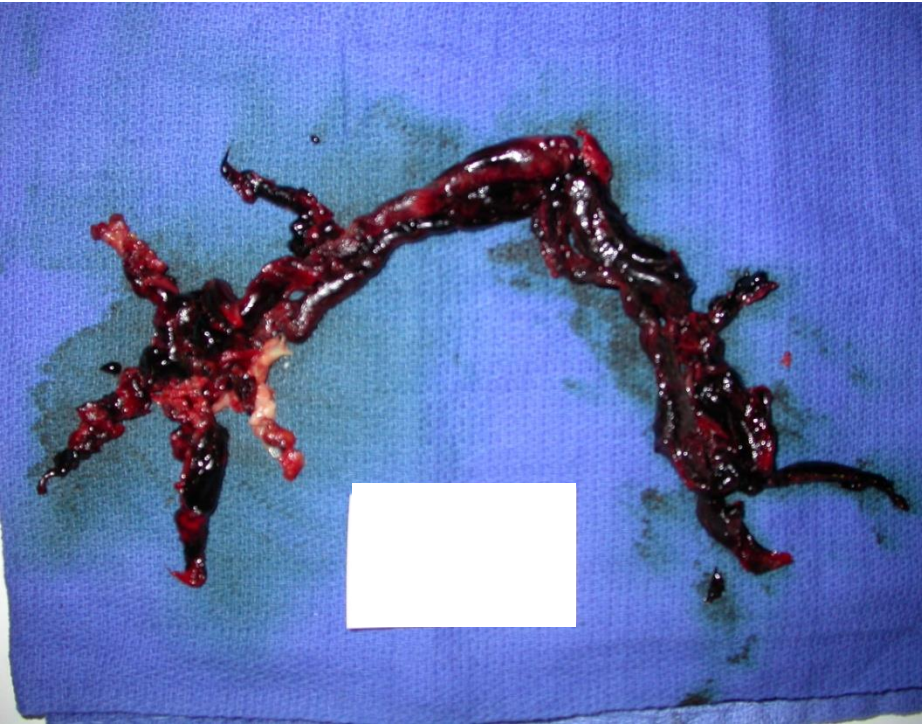
Buts :

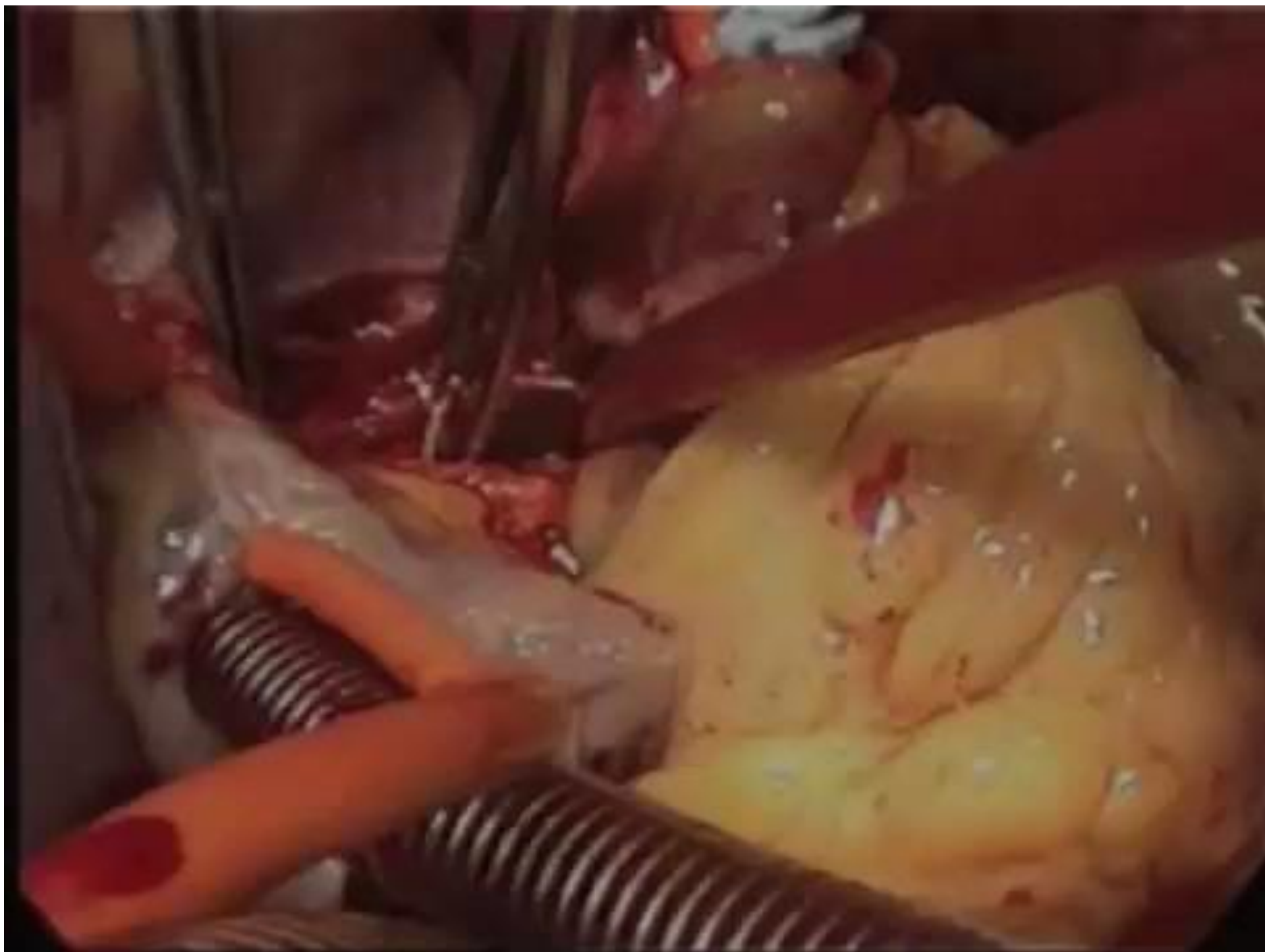
- Amélioration hémodynamique en réduisant la post-charge du ventricule droit
- Amélioration des rapports ventilation/perfusion
- Prévention du développement de la vasculopathie pulmonaire distale

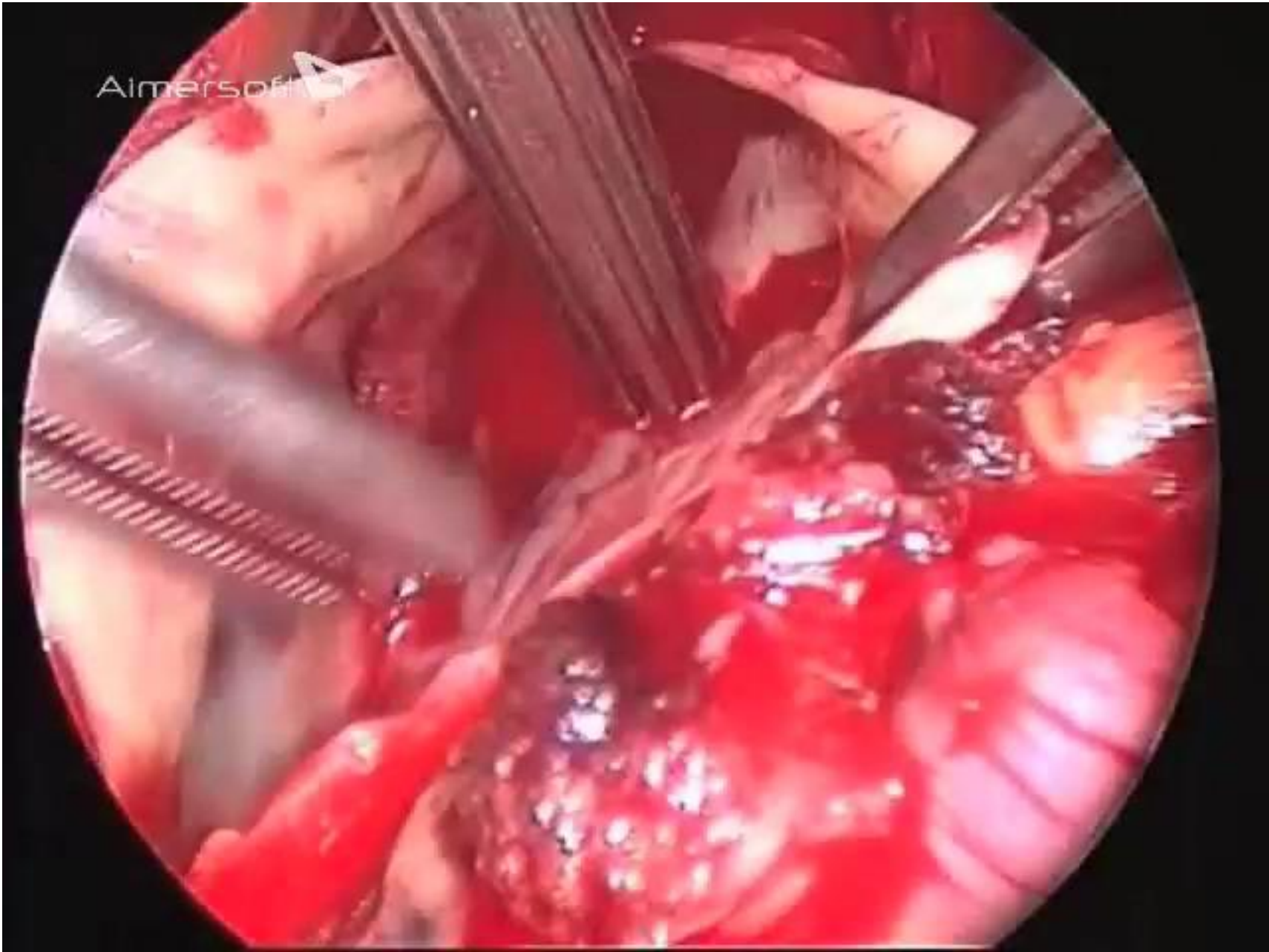
Principes de l'endartériectomie

- Procédure bilatérale
 - Enlever au maximum l'obstruction de l'arbre pulmonaire
- Chirurgie intrapéricardique
 - Évite les adhérences pleurales
 - Accès bilatéral
 - Permet l'utilisation de la CEC
- Arrêt circulatoire en hypothermie profonde
 - Arrête le saignement d'origine bronchique et permet une bonne visualisation de l'arbre artériel distal

Endartériectomie pulmonaire







Expérience de Marie Lannelongue

Janvier 1995 to decembre 2012
n = 1350

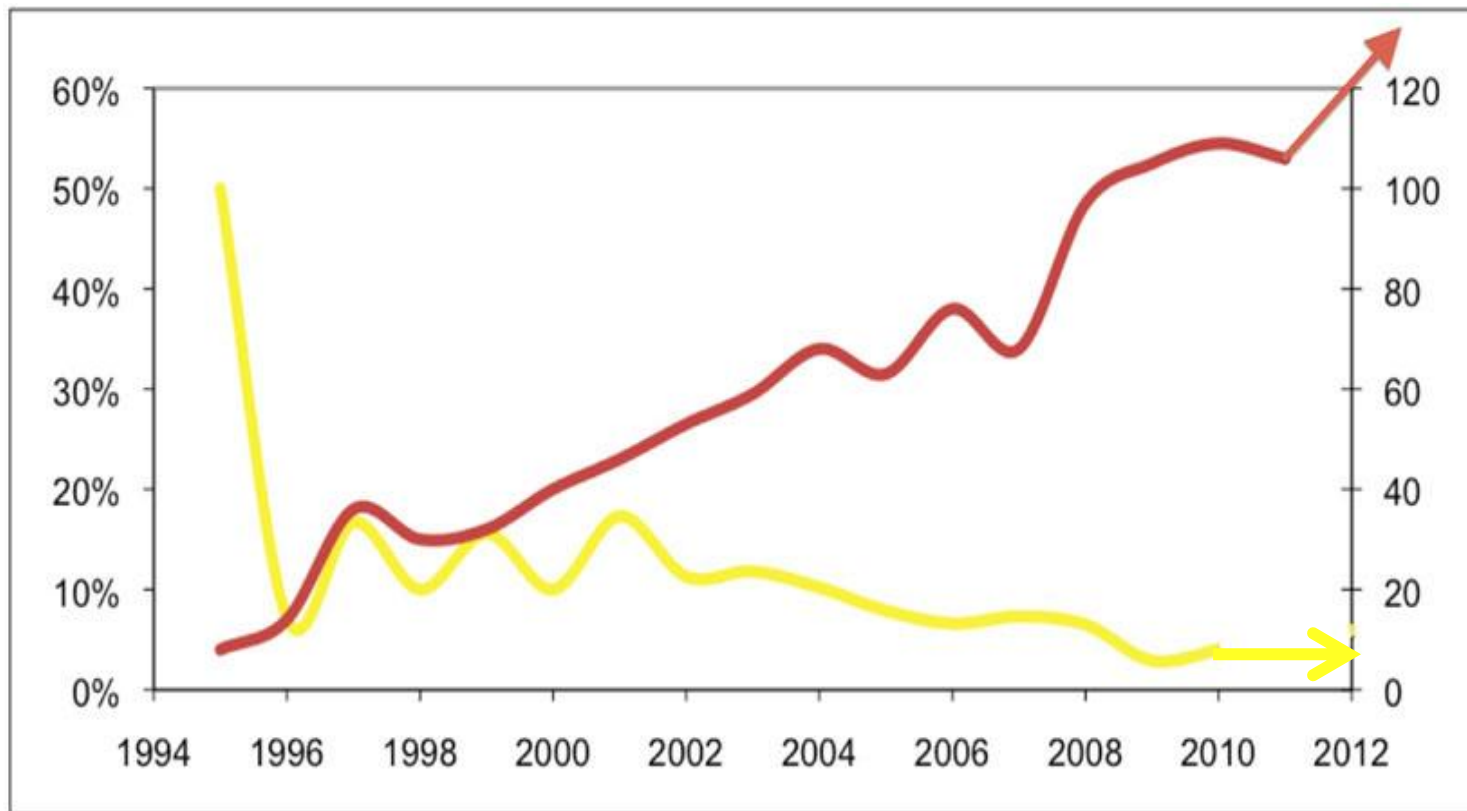
- Age (années) : 55 (range 15-83)
- PAPm (mm Hg): 54 ± 12.3
- Index Cardiaque (L/min/m): 2.2 ± 0.6
- RPT (dyne/sec/cm-5): 1206 ± 465

Endartérectomie pulmonaire

$n = 1350$

Mortalité
postopératoire

n/an



2012
N= 139

Mortalité actuelle
2.5%

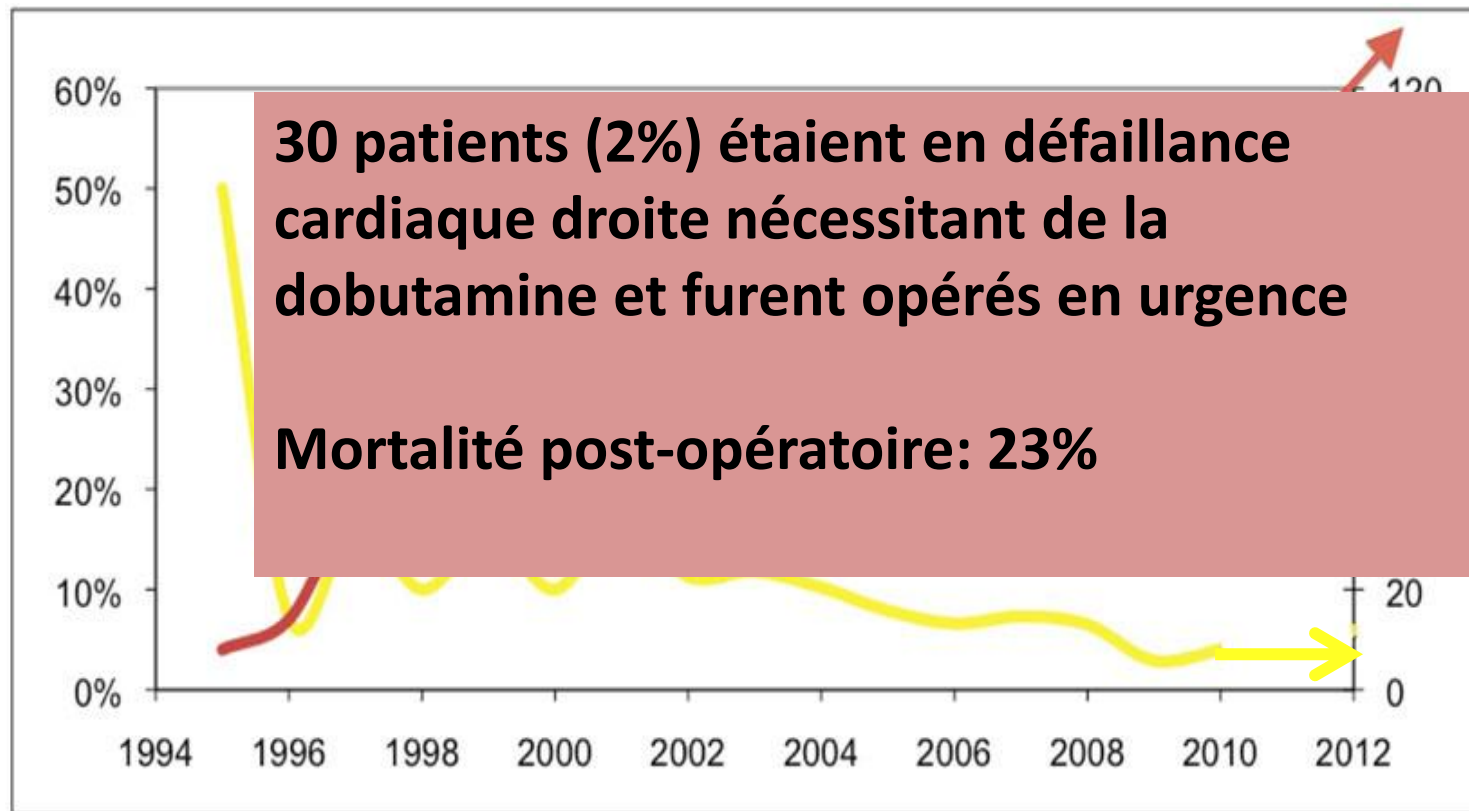
Janvier 1995 to decembre 2012

Endartérectomie pulmonaire

$n = 1350$

Mortalité
postopératoire

n/an



2012
N= 139

Mortalité actuelle
2.5%

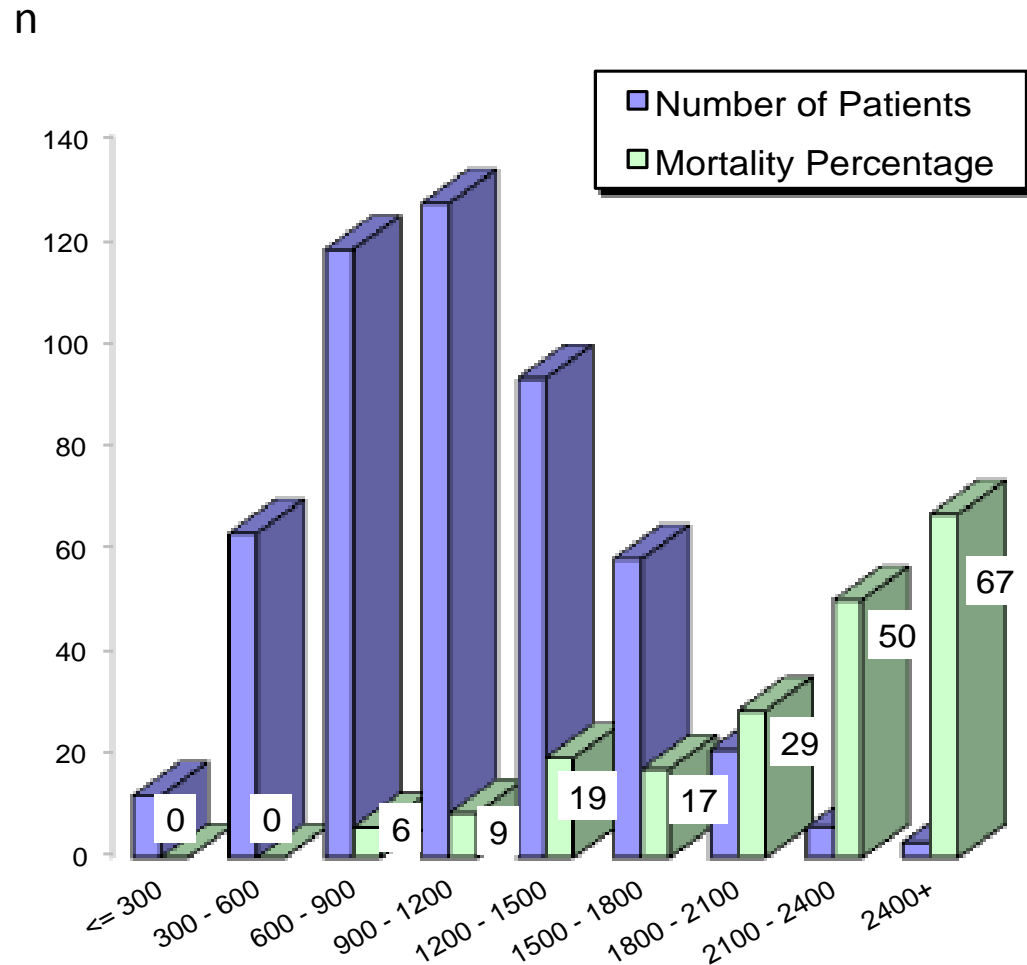
Janvier 1995 to decembre 2012

Mortalité post-opératoire

Mortality increases with preoperative resistance,

p<0,001

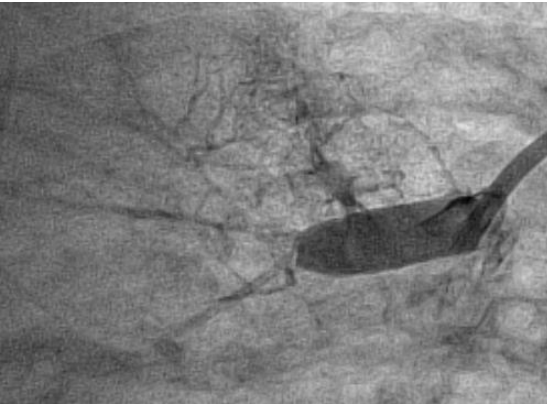
(OR : 1,761 95% CI 1,45 – 2,13)



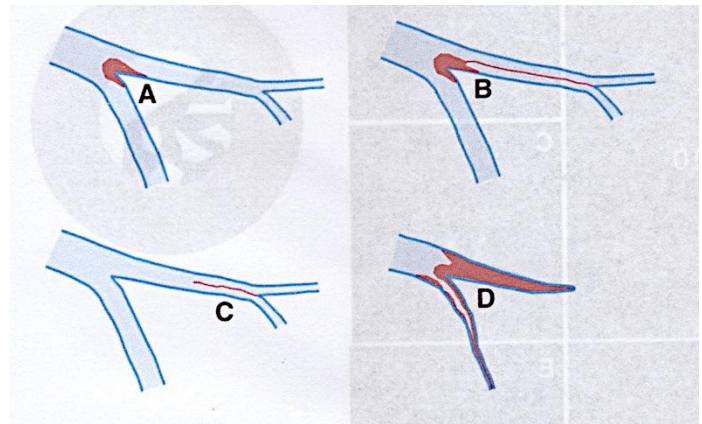
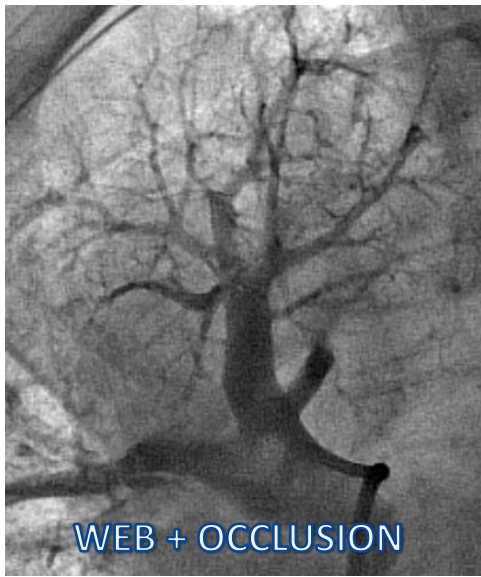
Complications post-opératoires

- Oedeme pulmonaire de reperfusion (40 ECLS)
- Défaillance cardiaque droite par hypertension pulmonaire persistante
- Pneumopathie nosocomiale
- Hémoptysies (embolisation n=12)
- Rethrombose (très rare)



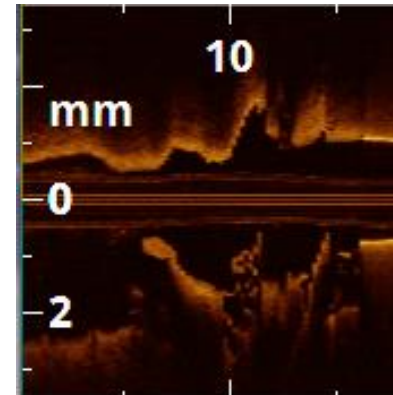
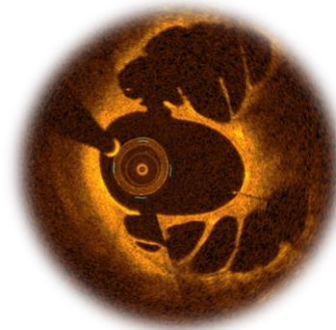
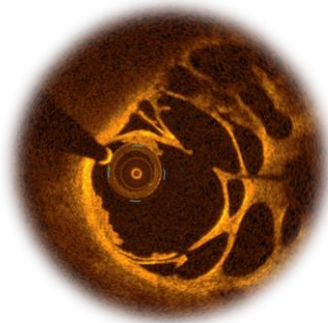
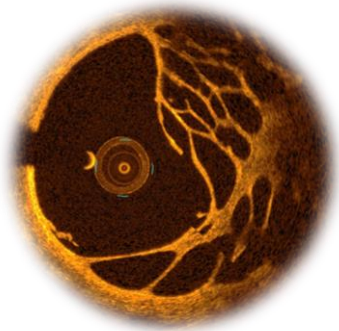
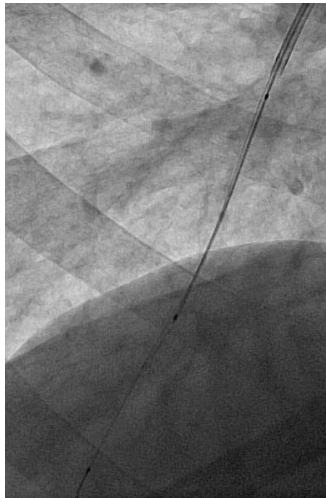
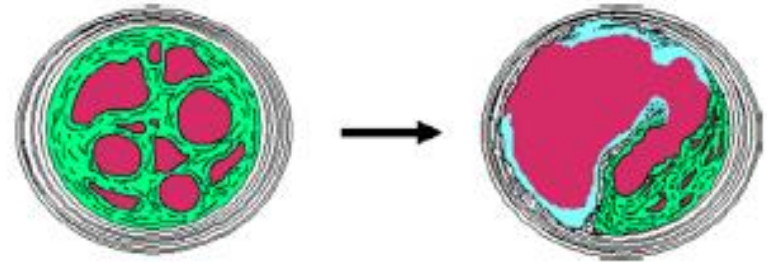


OCCLUSION



Mécanisme de l'angioplastie pulmonaire

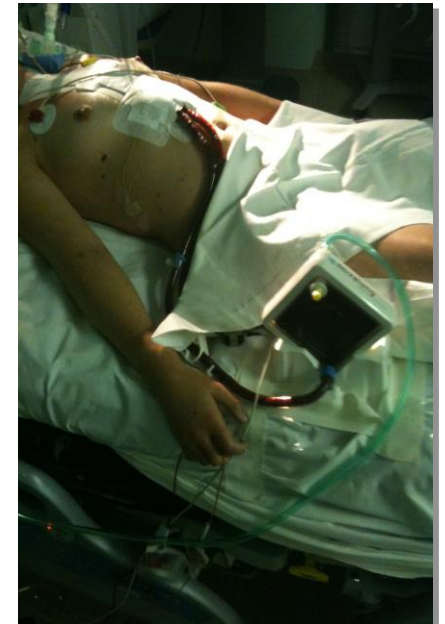
- Dissection dans le plan de la media
- Matériel endovasculaire comprimé sur le côté



Transplantation : “The Backup plan”

N =11

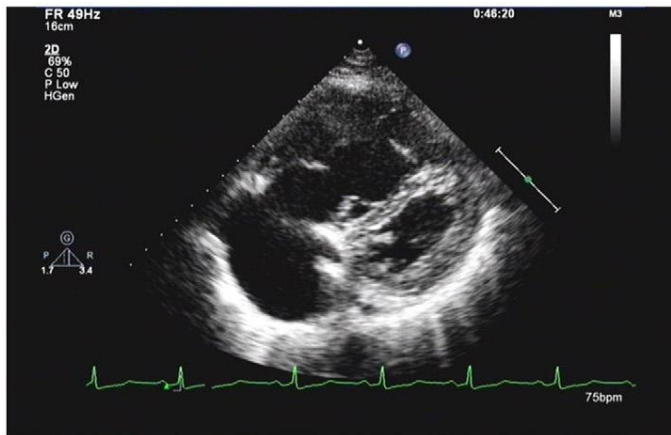
	Echec précoce	Echec tardif
	8	3
<hr/>		
Pont à la Tx	8	0
AV-ECMO	5	
Novalung	3	
Type de Tx	HLT	7
	DLT	1
Mortalité	27% (n=3)	
(Rejet aigu 1, DPG 2)		



Regular Article

Improvement of right ventricular dysfunction after pulmonary endarterectomy in patients with chronic thromboembolic pulmonary hypertension: Utility of echocardiography to demonstrate restoration of the right ventricle during 2-year follow-up

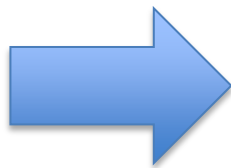
Yi-dan Li ^{a,1}, Zhen-guo Zhai ^{b,c,1}, Ya-feng Wu ^{a,1}, Yuan-hua Yang ^{b,c}, Song Gu ^d, Yan Liu ^d, Pi-xiong Su ^d, Chen Wang ^{c,e,*}



Before

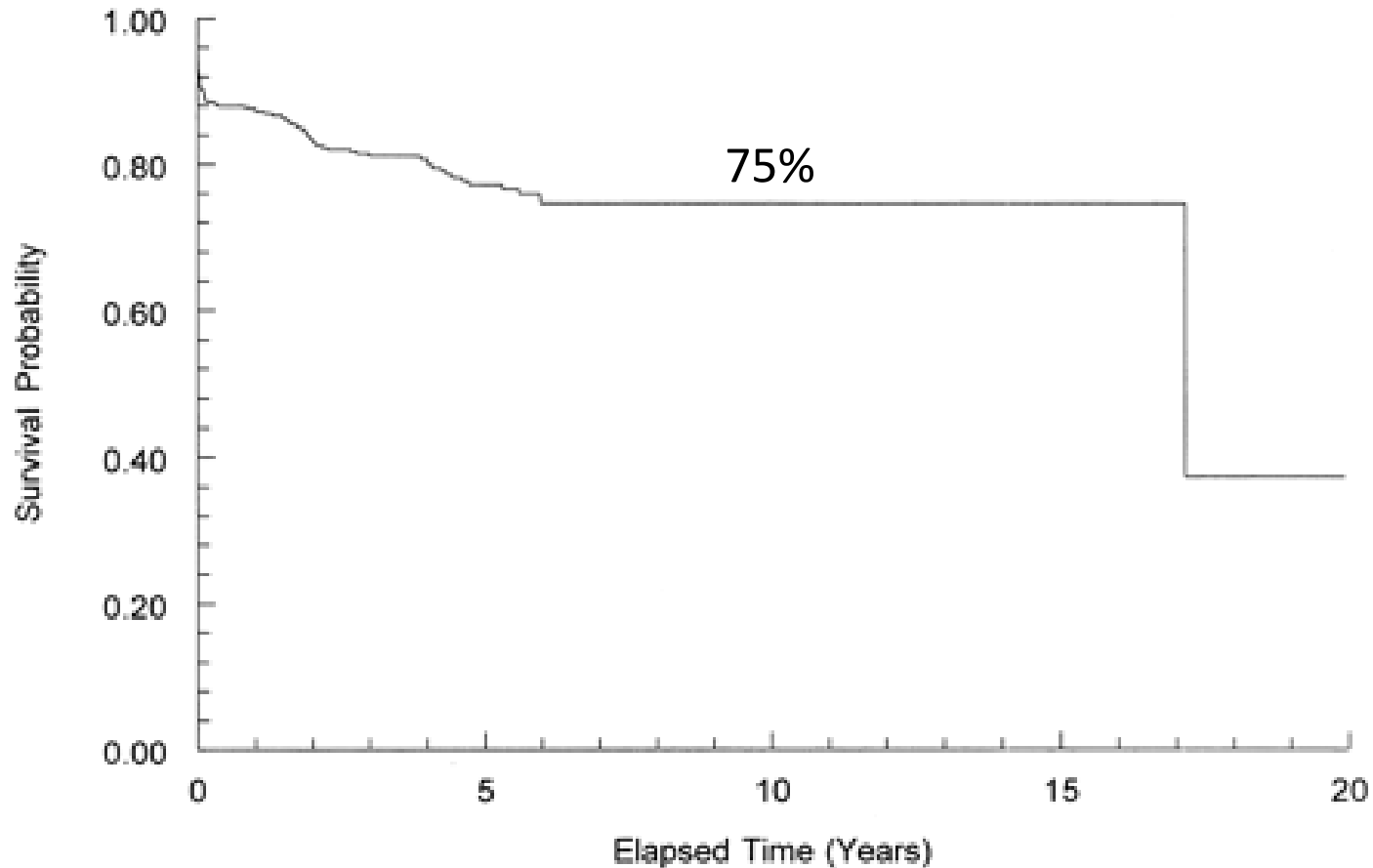


12 month follow up

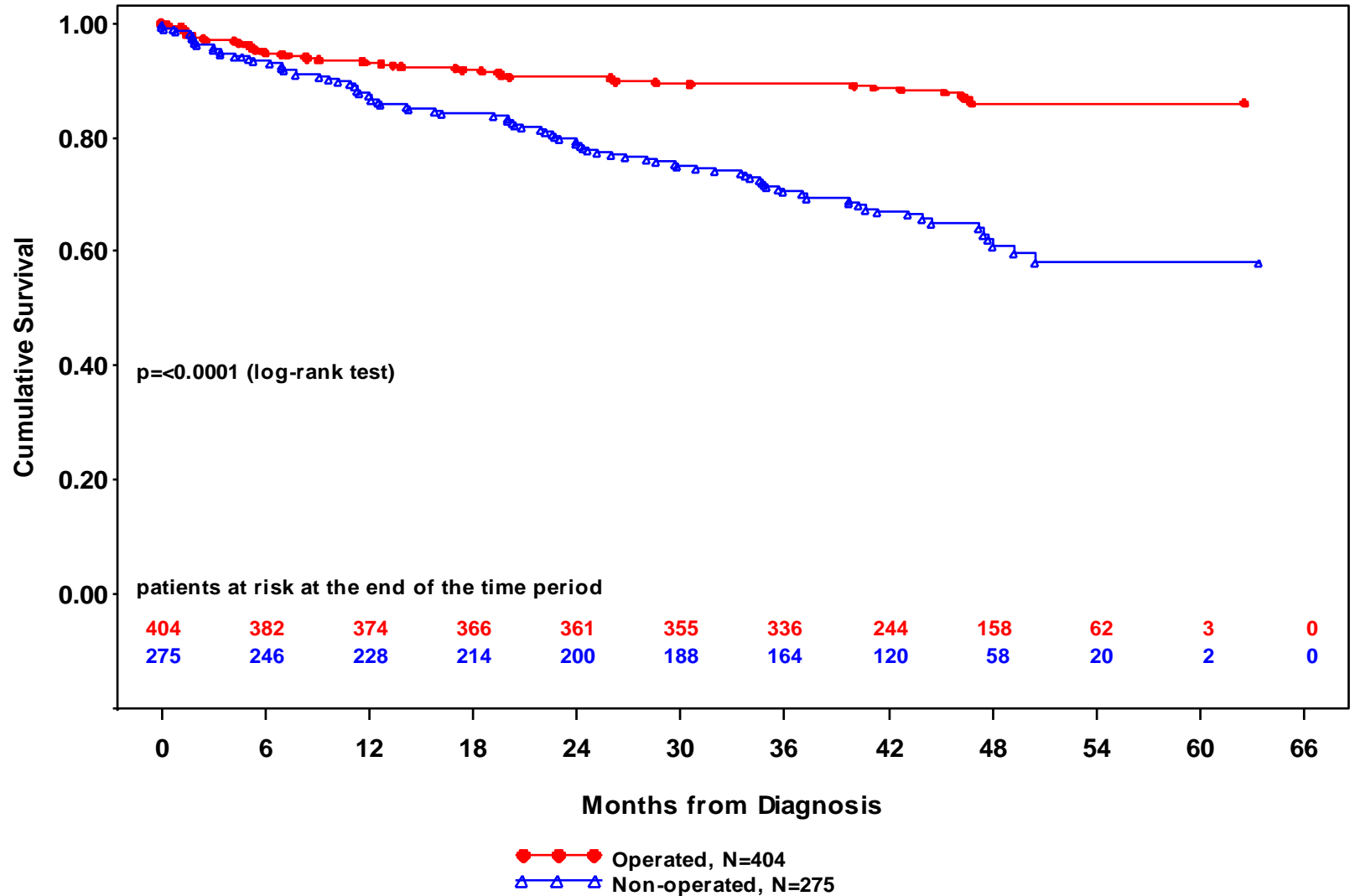


RV parameters	Pre-PEA	Post- PEA	Post- PEA	Post- PEA
		3 months	12 months	24 months
TAPSE (mm)	8.8 ± 0.6	10.1 ± 0.9	11.3 ± 1.1	13.1 ± 1.4
RV-EDA (cm ²)	35.8 ± 4.4	26.6 ± 4.8	21.2 ± 5.1	20.6 ± 5.1*
RV-ESA (cm ²)	27.1 ± 3.8	17.9 ± 3.8	13.3 ± 4.1	12.5 ± 4.2*
RV-FAC (%)	24.5 ± 3.7	33.5 ± 4.62	38.4 ± 4.9	40.0 ± 4.7*
RV-MPI	0.8 ± 0.1	0.5 ± 0.1	0.4 ± 0.1	0.4 ± 0.1*

Survie à long terme après endartériectomie pulmonaire



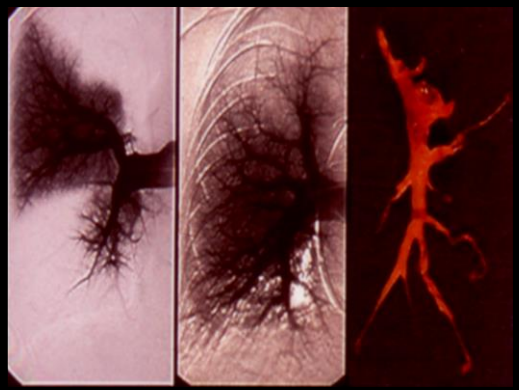
Survie Cohorte Européenne



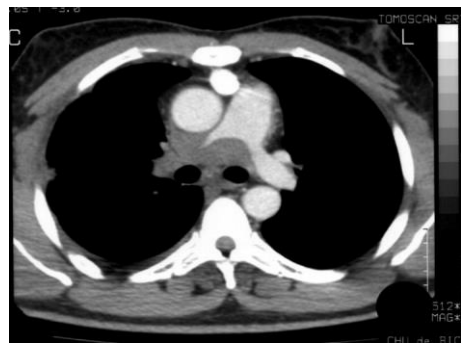
HTAP ++++

Diagnostics différentiels

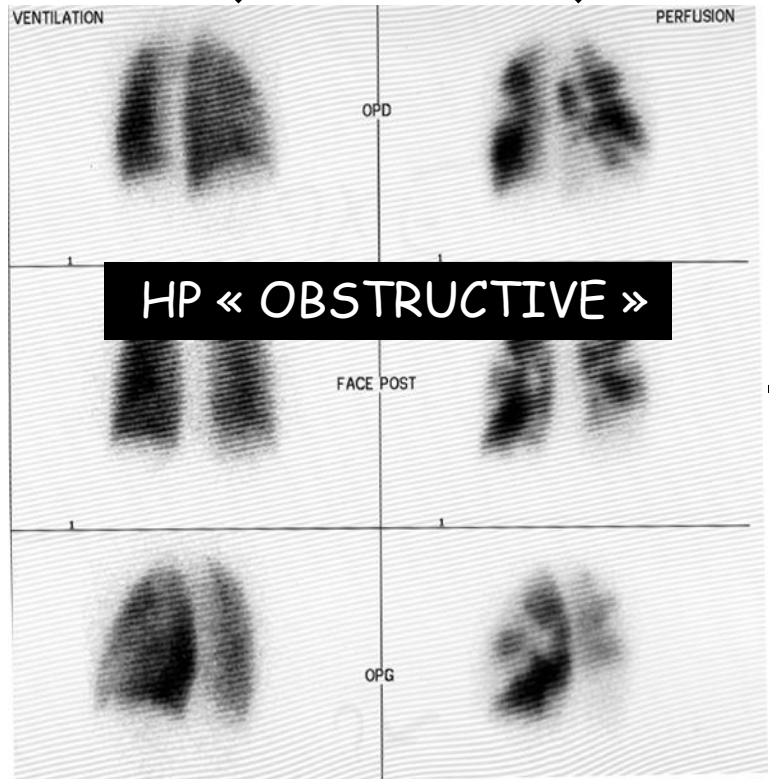
Médiastinite fibreuse



Angiosarcome pulmonaire



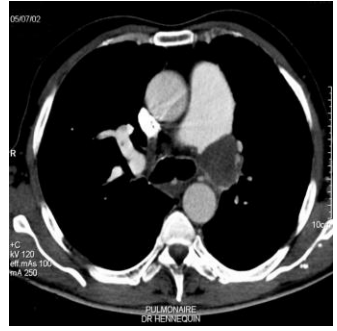
Artérite pulmonaire



Kyste hydatique



Leiomyome



Transplantation pulmonaire

Lever le barrage pulmonaire

Cependant:

- Persistance des anomalies VD
- Dysfonction diastolique du VG
- Oedème de reperfusion
- Dysfonctions associées possibles :
rein, foie,...

Capacité du coeur à compenser immédiatement
l'hémodynamique post-transplantation?

Electrophysiologic Remodeling of the Left Ventricle in Pressure Overload-Induced Right Ventricular Failure

Maxim Hardziyenka, MD, PHD,*† Maria E. Campian, MD,* Arie O. Verkerk, PHD,*
Sulaiman Surie, MD,‡ Antoni C. G. van Ginneken, PHD,* Sara Hakim, BSC,§
André C. Linnenbank, PHD,* H.A.C.M. Rianne de Bruin-Bon, BSC,|| Leander Beekman, BSC,*
Mart N. van der Plas, MSc,‡ Carol A. Remme, MD, PHD,* Toon A. B. van Veen, PHD,§
Paul Bresser, MD, PHD,*‡ Jacques M. T. de Bakker, PHD,*†§ Hanno L. Tan, MD, PHD*||

Amsterdam and Utrecht, the Netherlands

Conclusions

Electrophysiologic remodeling occurs in the atrophic LV of CTEPH patients with RVF and in the MCT rat model of PAH-induced RVF. This is associated with abnormal LV diastolic filling.

Remodelage VD chez les patients HP

- Hypertrophie non adaptée
- Dilatation
- Septum paradoxal
- Fonctions diastolique and systolique VD altérée
- Fonction diastolique VG altérée

Diminution drastique de la
post-charge du VD

Dysfonction VD Post-transplantation

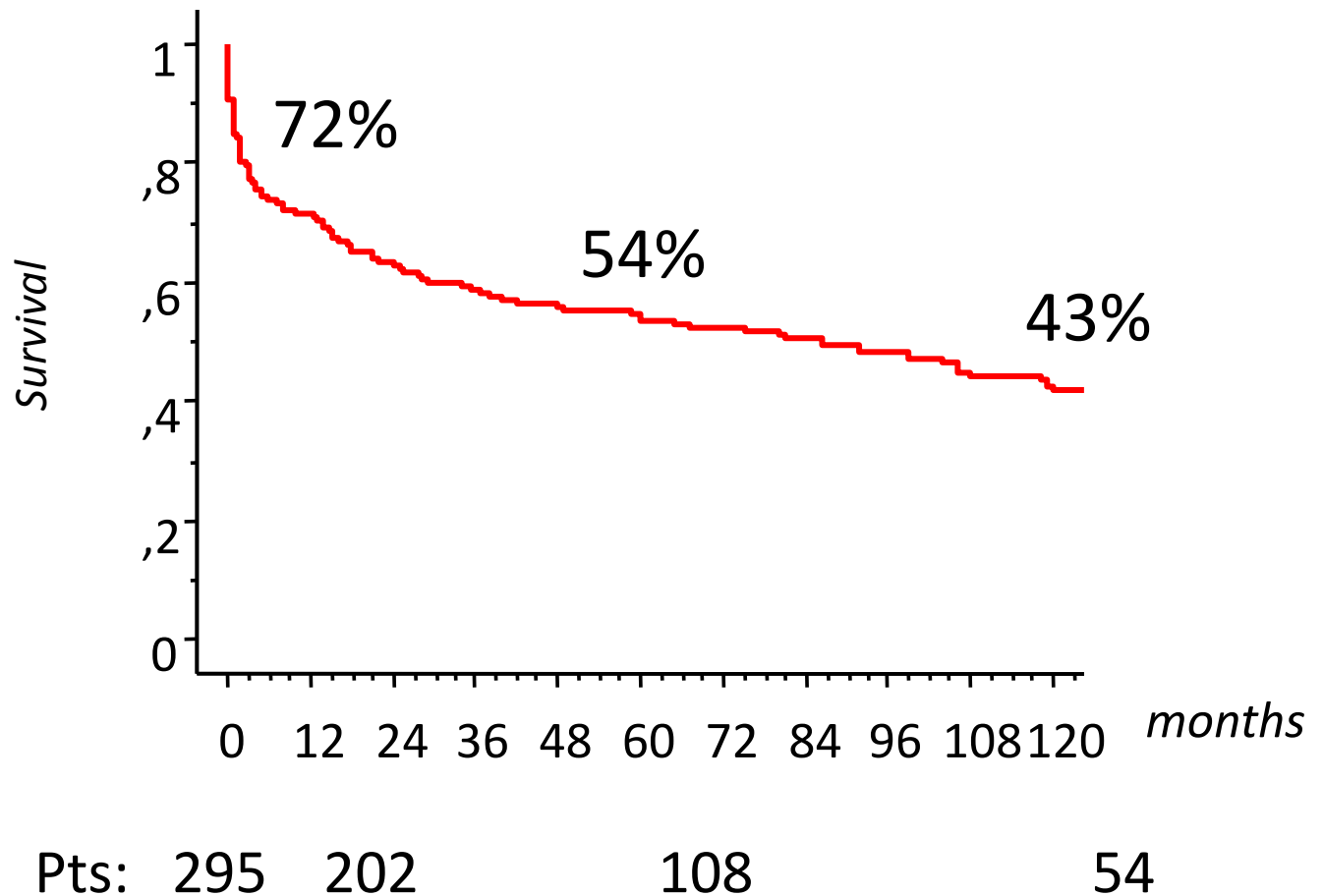
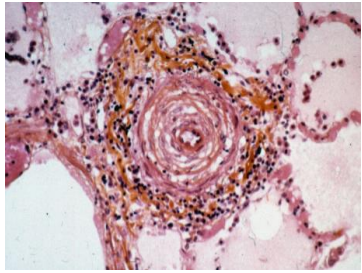
- Amélioration fonction VD
- Dysfonction diastolique VG démasquée

Oedème pulmonaire

TxP



Marie Lannelongue Experience with PH 1986-2013 n=295

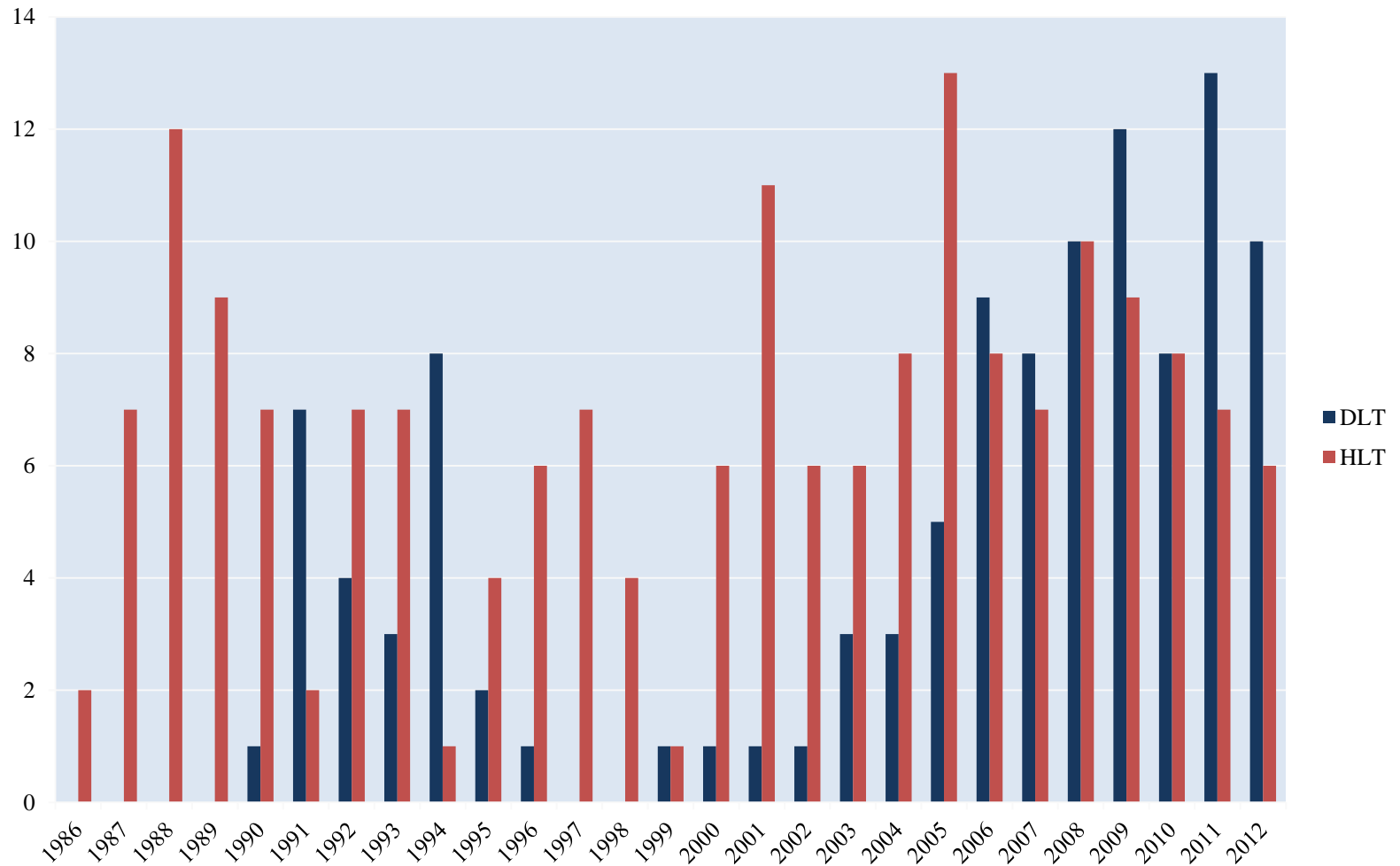


Transplantation for PH 1986-2013

n=295

DLT=116

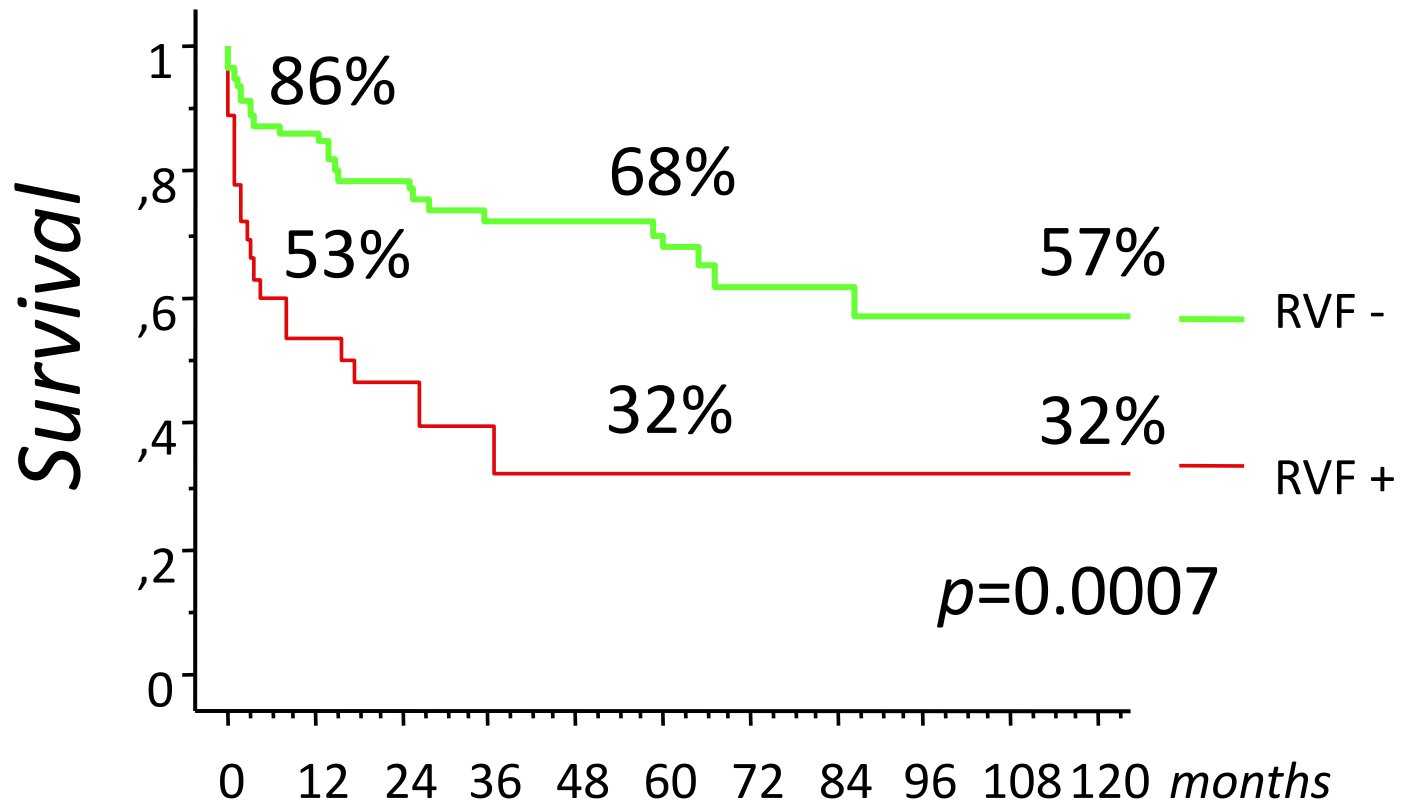
HLT=179



Double lung transplantation

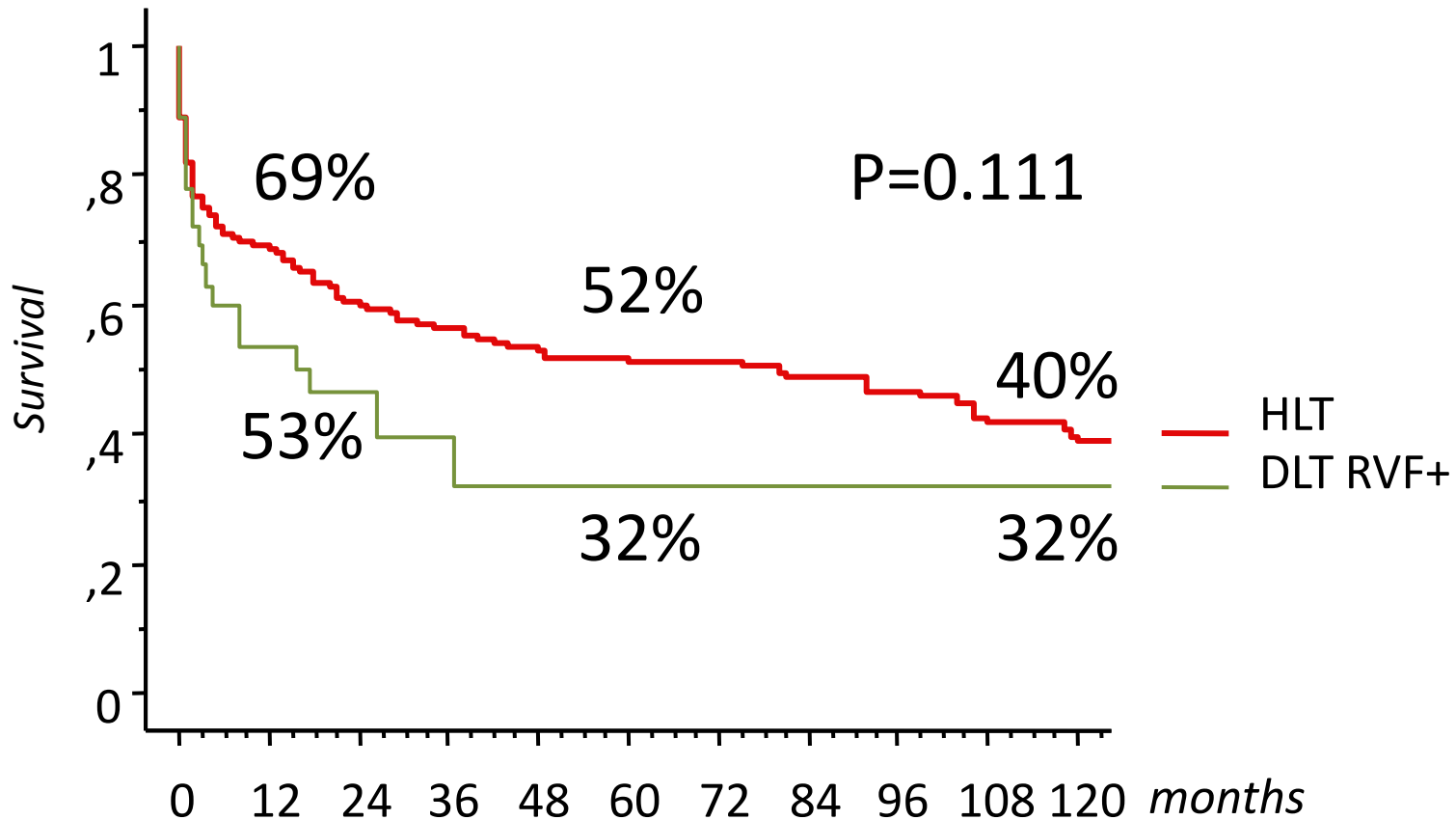
n=116

RVF | Inotropic support
Syncope within
the month



RHF +:	36	17	4	2
RHF -:	80	62	31	12

HLT vs. DLT RVF+

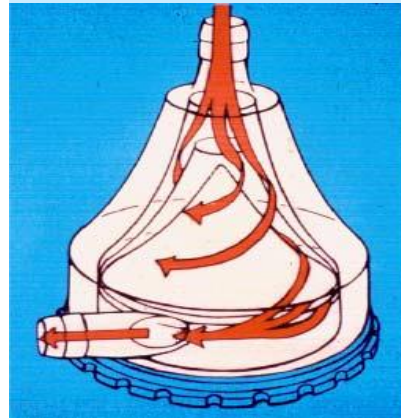
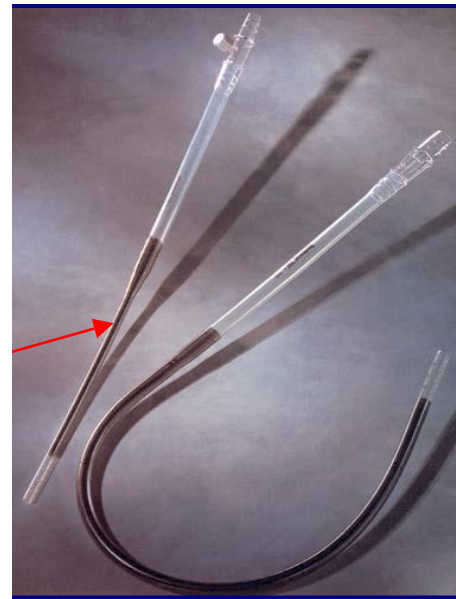


RHF +:	36	17	4	2
HLT:	179	123	73	40

HLT	ECLS	12
	ES	36

Avancées techniques

- Oxygénateurs en polyméthylpentène
- Tubulures héparinées
- Pompes centrifuges



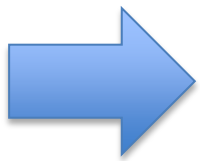
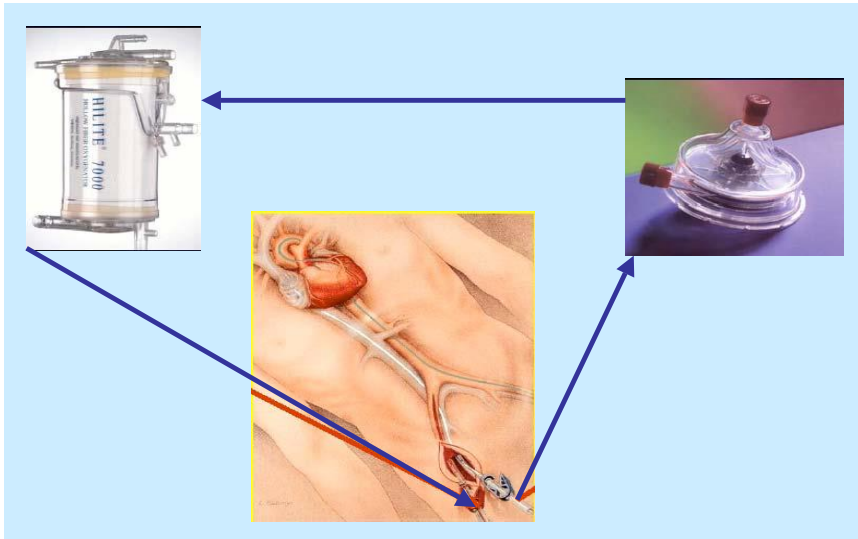
Terminologies ECLS

ExtraCorporeal Life Support

ECMO = Extracorporeal Membrane Oxygenation

Decarboxylation = **ECMO low-flow**, **PECOR** (Partial Extracorporeal Carbone Dioxyde Removal), **ECCO²R** (Extracorporeal CO² Removal)

Oxygénation et decarboxylation = **ECLA** (ExtraCorporeal Lung Assist)

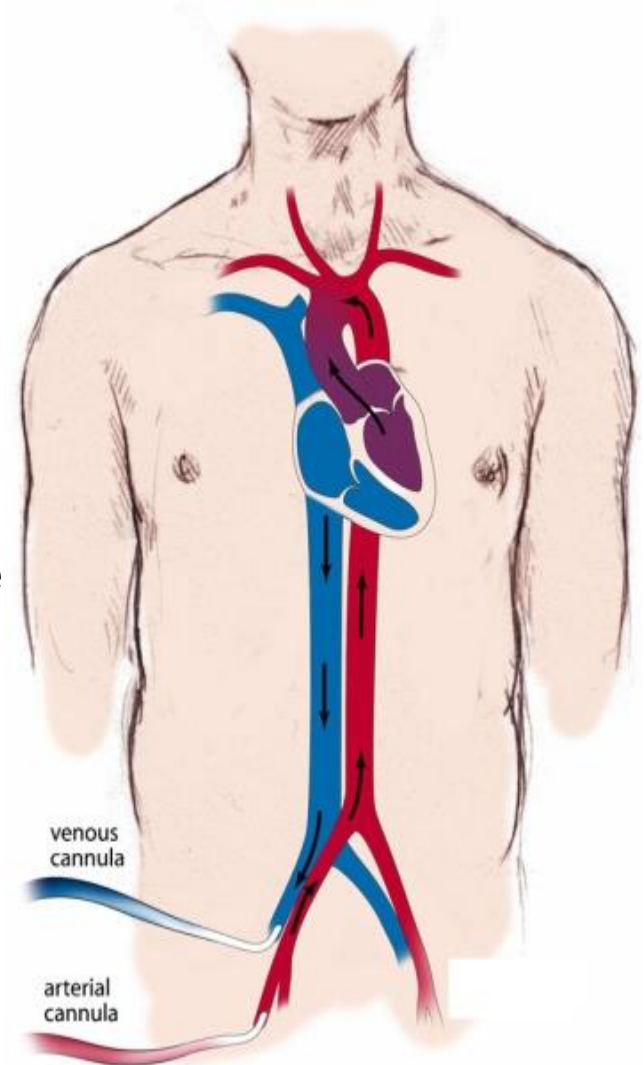


V-V, V-A, V-V-A

ECMO

Accès Vasculaire

V-A ECMO



- Rapidité ++ Anesthésie locale
- Bridge +++
- Obligation de réinjection FS
- Pb de flux compétitif
- Pb de décharge G
- Infection du scarpa

ECLS pour récupération du ventricule droit?

Novalung Central

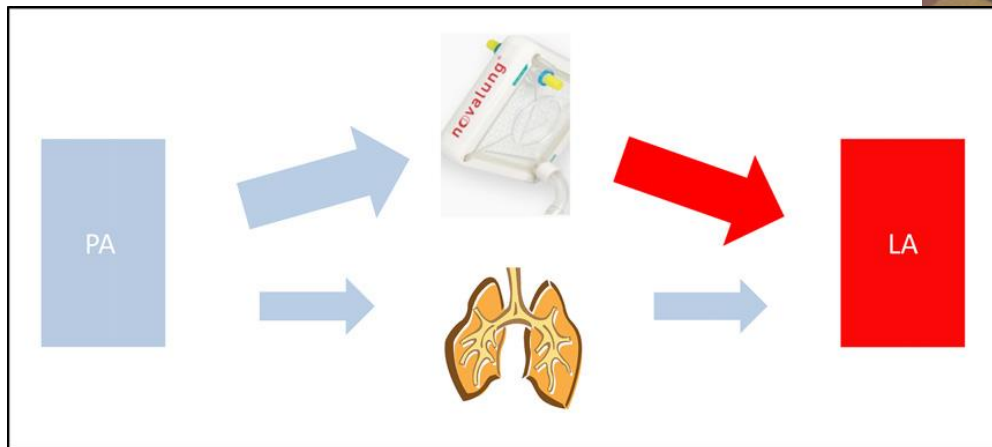
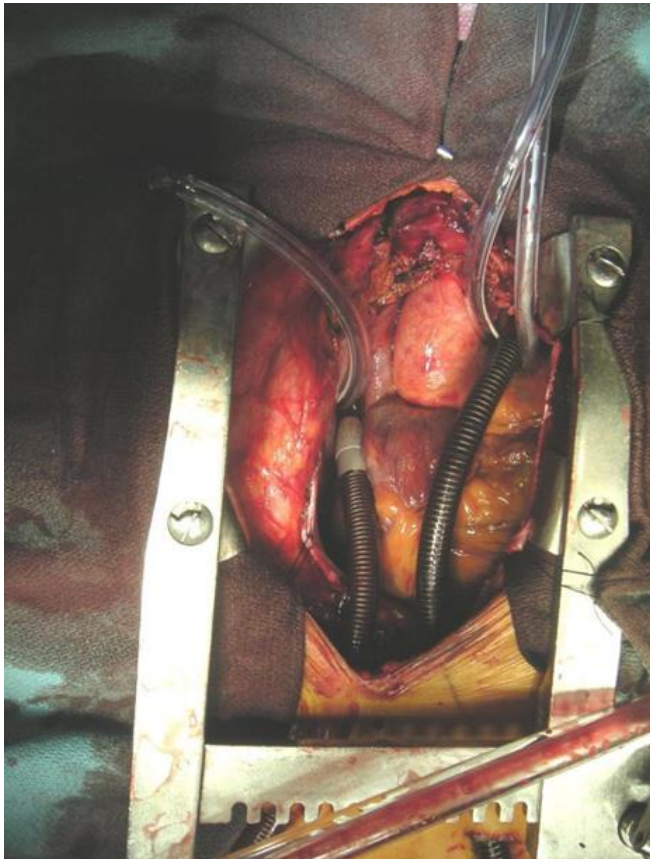


VA ECMO



Assistance de courte durée => en pont à la
transplantation ou à la récupération

PA-LA Novalung*



De Perrot, JHLT 2011



Table 1 Patient Characteristics at the Time of Listing

Variable ^a	1998–2005 (n = 23)	2006–2010 (n = 21)	p-value
Age, years	35 ± 15	37 ± 18	0.7
Female sex	18 (78)	14 (67)	0.7
NYHA class	3.1 ± 0.3	3.4 ± 0.6	0.04
6-MWT distance, meters	343 ± 92	293 ± 127	0.1
Right atrial pressure, mm Hg	14 ± 8	11 ± 6	0.2
Cardiac output, liters/min	3.3 ± 0.7	3.7 ± 0.9	0.1
PVR, dynes · sec · cm ⁻⁵	1173 ± 314	1145 ± 537	0.8
Patients on IV epoprostenol	18 (78)	13 (62)	0.2
Duration of IV epoprostenol, mon	16 ± 17	21 ± 27	0.5
Patients on oral therapy	8 (35)	14 (67)	0.002

IV, intravenous; NYHA, New York Heart Association; PVR, pulmonary vascular resistance.

^aData are presented as number (%) or mean ± standard deviation.

Table 2 Pre-transplant Management

Variable	1998–2005 (n = 23) No. (%)	2006–2010 (n = 21) No. (%)	p-value
In-hospital pre-transplant	1 (4)	10 (48)	0.0009
Atrial septostomy	2 (9)	0	0.2
Extracorporeal life support	0	6 (29)	0.006
PA-LA Novalung	0	4	
VA ECMO	0	2	
Inotropic support	0	5 (25)	0.01
Intubated	0	4 (20)	0.02
Waiting list mortality	5 (22)	0	0.03
Type of transplant			0.05
Bilateral lung	18	17	
Heart-lung	0	4	

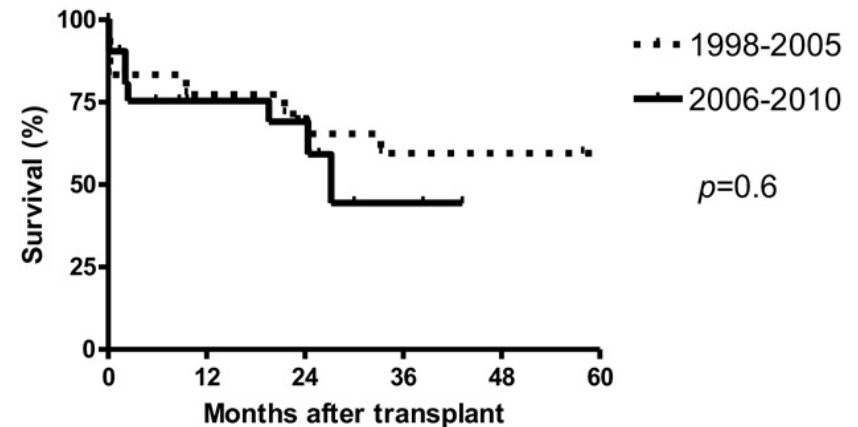
ECMO, extracorporeal membrane oxygenation; LA, left atrium; PA, pulmonary artery; VA, venoarterial.

Table 4 Early Post-transplant Outcome

Variable	1998–2005 (n = 18)	2006–2010 (n = 21)	p-value
30-day mortality, No.	3	2	0.5
Severe PGD ^a , No.	4	5	0.9
LOS (mean ± SD)			
Intensive care unit	17 ± 13	36 ± 30	0.02
Hospital	35 ± 27	66 ± 68	0.08

LOS, length of stay; PGD, primary graft dysfunction; SD, standard deviation.

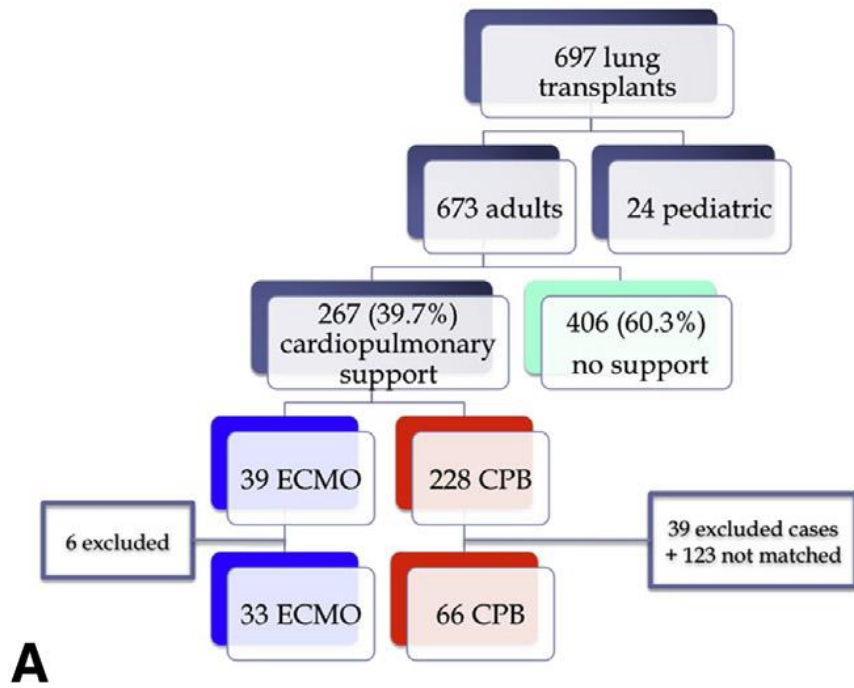
^aDefined by PGD III persistent during the initial 72 hours after transplant.



Outcomes of intraoperative extracorporeal membrane oxygenation versus cardiopulmonary bypass for lung transplantation

Tiago N. Machuca, MD, Stephane Collaud, MD, MSc, Olaf Mercier, MD, PhD, Maureen Cheung, MD, Valerie Cunningham, CCP, S. Joseph Kim, MD, PhD, Sassan Azad, CRA, Lianne Singer, MD, MSc, Kazuhiro Yasufuku, MD, PhD, Marc de Perrot, MD, MSc, Andrew Pierre, MD, MSc, Karen McRae, MD, Thomas K. Waddell, MD, PhD, Shaf Keshavjee, MD, MSc, and Marcelo Cypel, MD, MSc

Toronto Lung Transplant Program 2007 to 2013



Annual Lung Transplants and Mode of Support

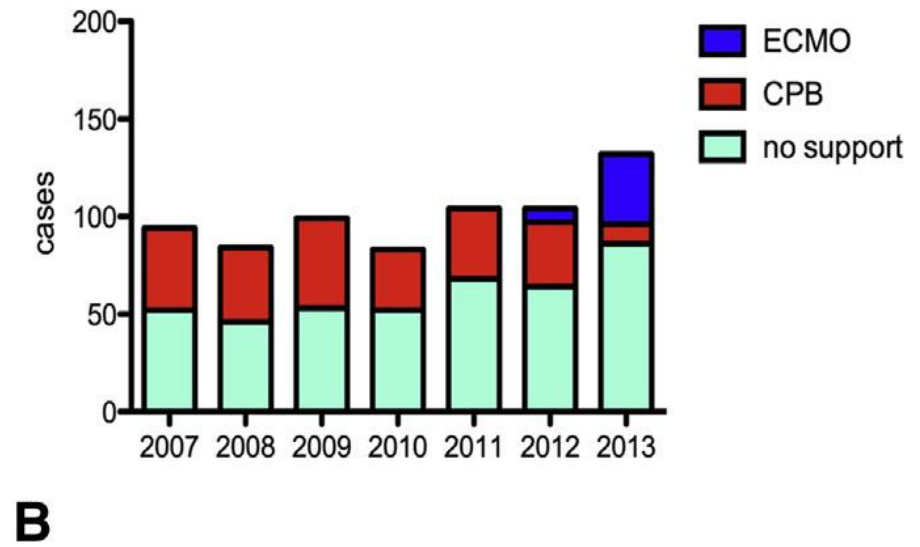
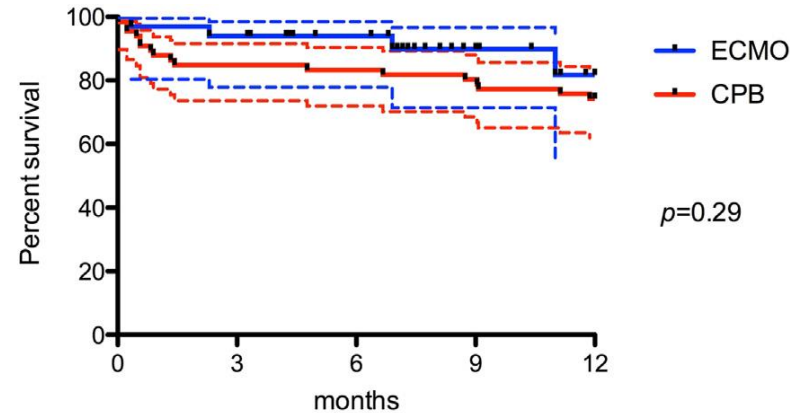


TABLE 2. Intraoperative data and early post-transplant outcomes

Variable	CPB (n = 66)	ECMO (n = 33)	P value
Intraoperative			
Pump time (min)	199 ± 90	210 ± 84	.38
Warm ischemic time L (min)	69 ± 17	73 ± 23	.37
Warm ischemic time R (min)	64 ± 14	70 ± 20	.123
Warm ischemic time SLTx (min)	74 ± 9	74 ± 19	.94
Blood transfusion			
pRBCs (units)	6 (3-10)	3 (2-5.5)	<.001
Platelets (units)	1 (0-2)	0 (0-0.5)	.007
FFP (units)	4 (1.7-7.2)	0 (0-0.5)	.006
Postoperative			
pRBC up to 72 h (units)	2 (1-6)	1 (0.5-3)	.014
Length of MV (d)	7.5 (2-18)	3 (2.5-5)	.005
ICU stay (d)	9.5 (3-21)	5 (3-9)	.026
Hospital stay	27 (17-42)	19 (14-30)	.029
ECLS postoperative requirement	5 (7.5%)	0	.166
Dialysis requirement	12 (18%)	3 (9%)	.37
Reoperation (bleeding)	18 (27%)	3 (9%)	.04
90-d mortality	10 (15%)	2 (6%)	.32



Patients at risk:

ECMO	33	32	26	14	8
CPB	66	57	56	54	49

Institutional experience with extracorporeal membrane oxygenation in lung transplantation^S

Clemens Aigner, Wilfried Wsner, Shahrokh Taghavi, György Lang,
Peter Jaksch, Damian Czyzewski, Walter Klepetko*

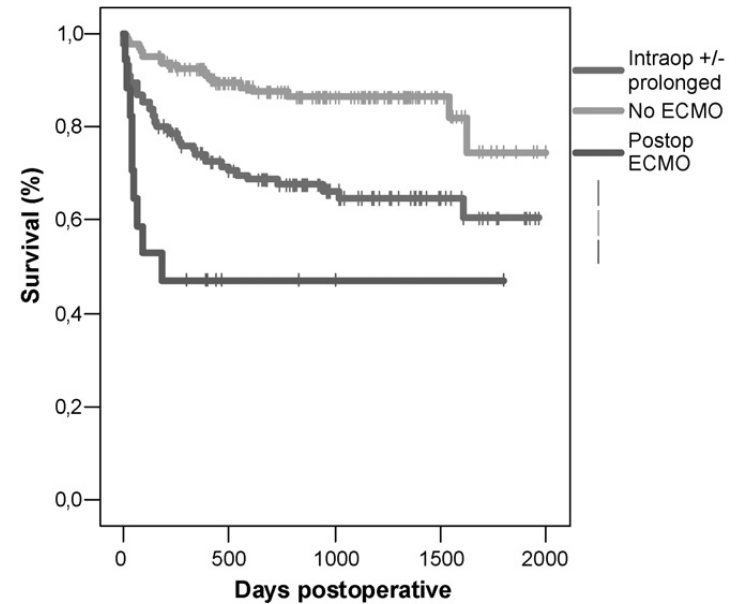
Department of Cardio-Thoracic Surgery, Medical University of Vienna, Währinger Gürtel 18-20, 1090 Vienna, Austria

Received 11 October 2006; received in revised form 25 November 2006; accepted 28 November 2006; Available online 12 January 2007

Table 3
Overview of ECMO and CPB use

	Bridge to TX	Intraoperative	Prolonged	Postoperative
⇒ ECMO	2	130	51	5
⇒ CPB+ECMO		27	0	11
⇒ No support		149	0	6

Kaplan Meier Intra-vs. postoperative ECMO



p (Intraop vs. no) < 0,01
p (Postop vs. no) < 0,01
p (Intraop vs. Postop.) = 0,02

Patients at risk: 3 months n= 257
 1 year n= 208
 3 years n= 100

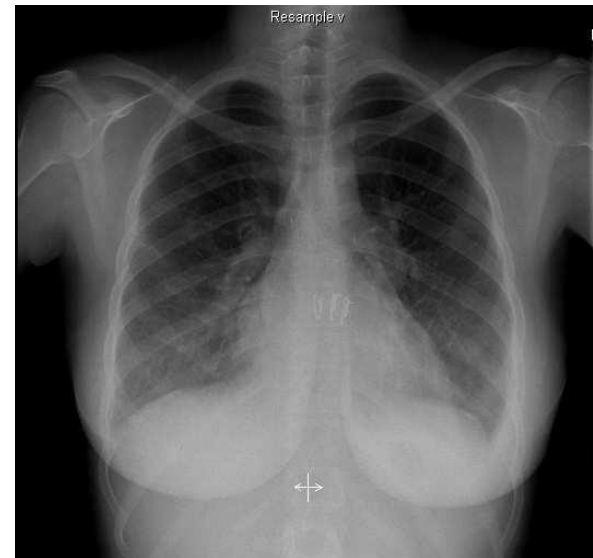
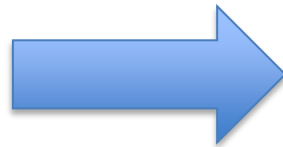
Innovation Prise en charge post-Tx pulmonaire des patients PH

- **Apports du KT OG**

- Monitoring du remplissage
- Indication objective d'ECMO
- Amélioration des suites immédiates

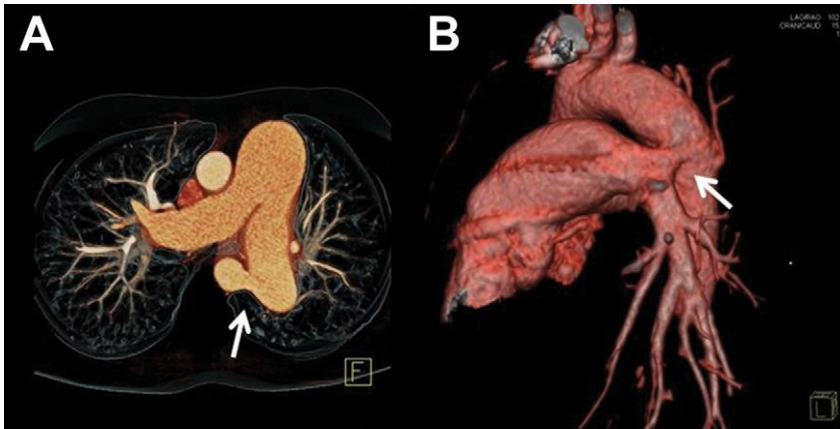
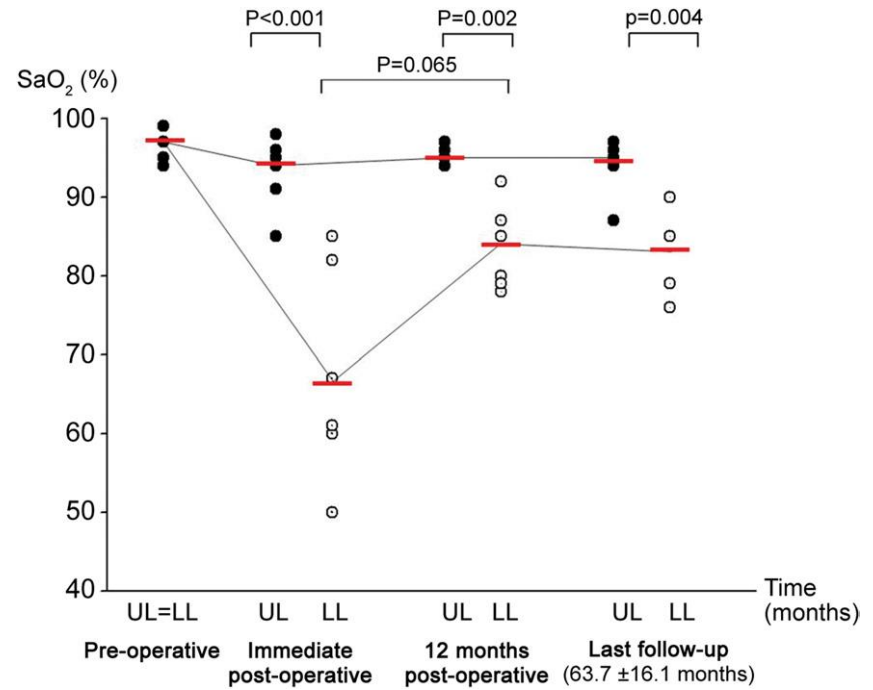
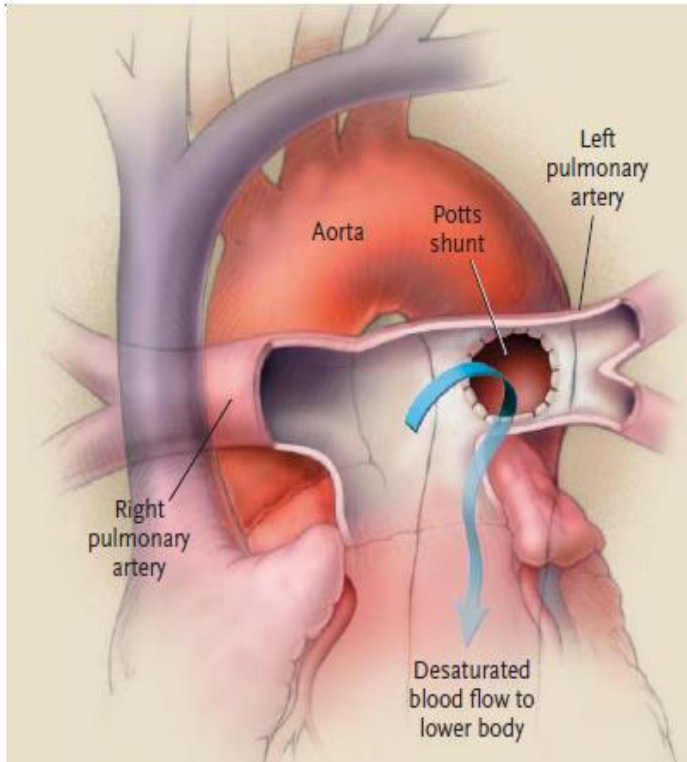


PAPm 97 mm Hg

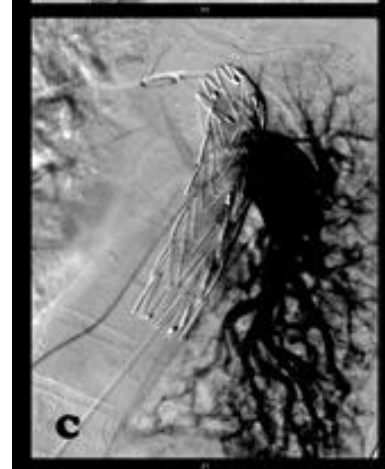
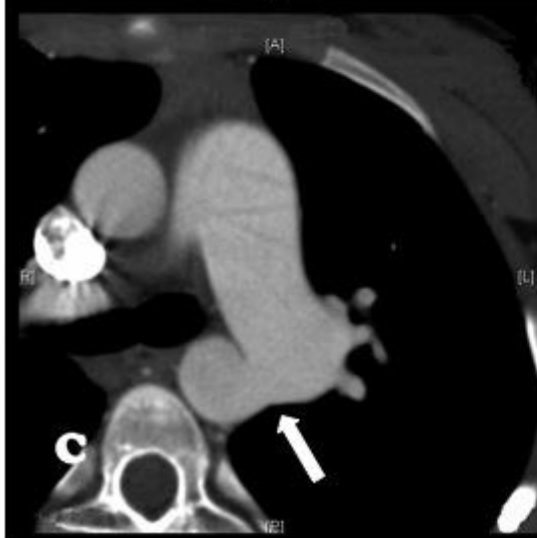
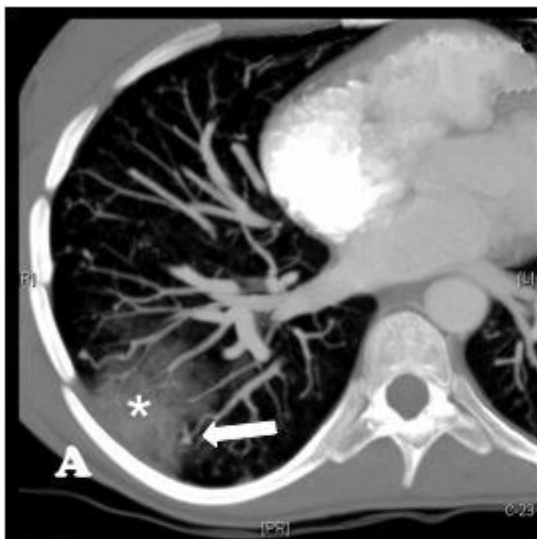


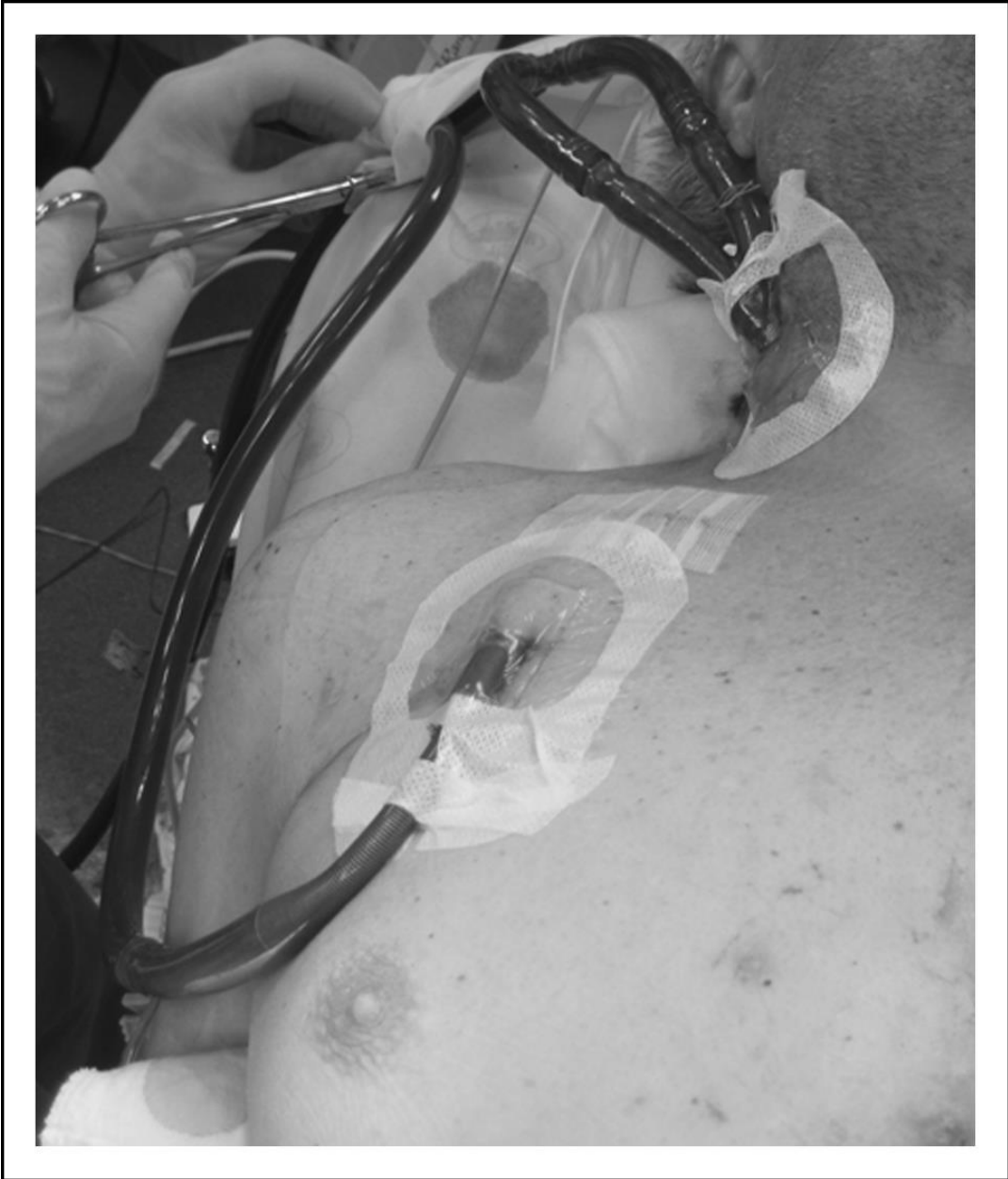
3 sem.

Potts Procedure In Children



- Supra-systemic PH in Children
- Improvement in NYHA functional class
- Delay Tx (5-6y)
- Carries acceptable risk





Bio-Artificial Lung for the treatment of Pulmonary Hypertension Induced End-stage Right Ventricle Failure

BIOART-LUNG 2020

PI: O. Mercier

DHU TORINO – M. Humbert

